

# SUBATOMÄR FYSIK

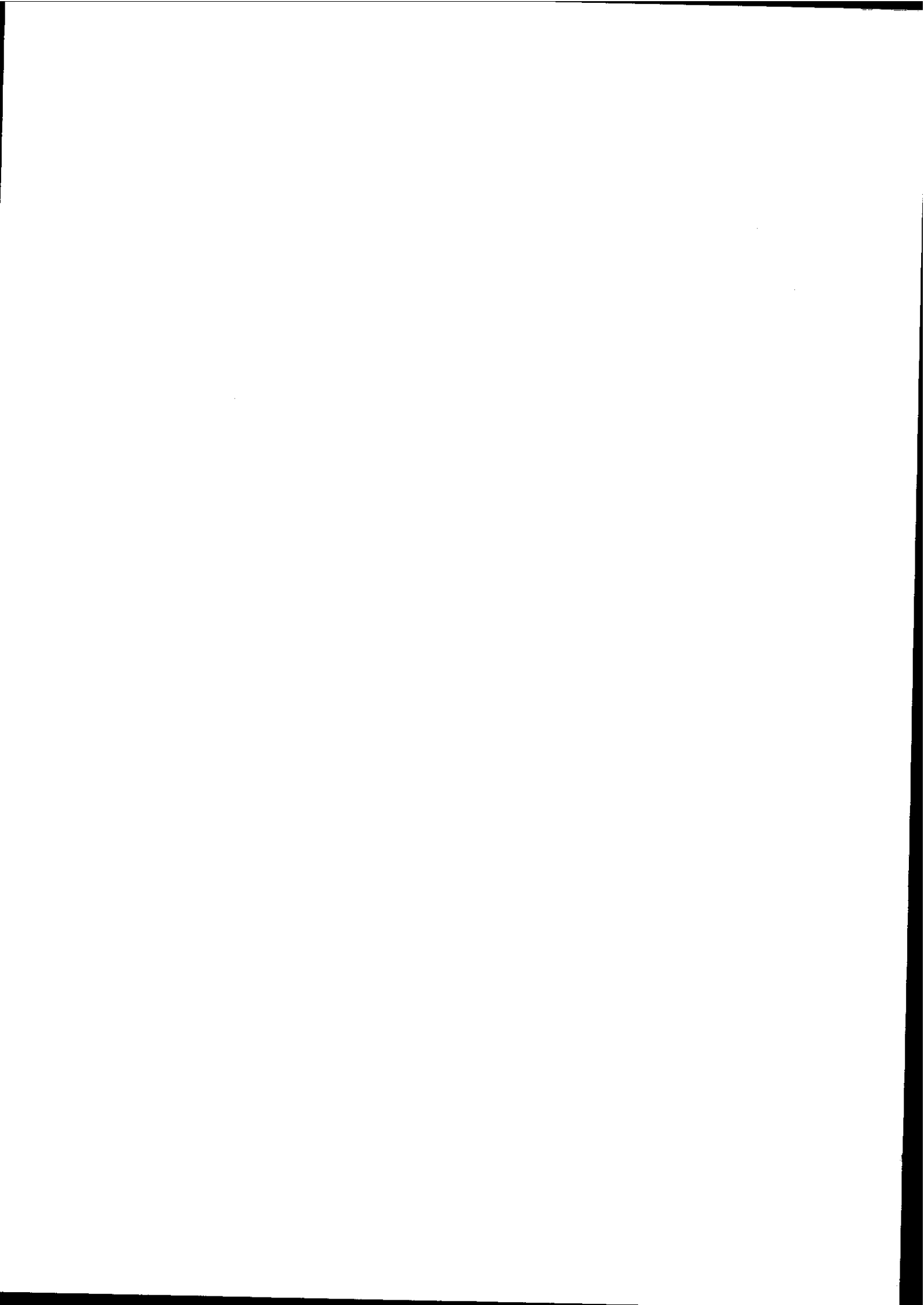
FÖ

F

1994

SIDOR: 87

PRIS: ~~30 kr~~ 45



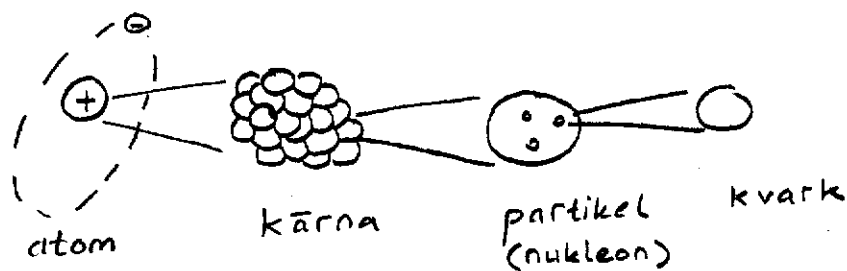
Dugga (8 p max) kan ge 4 p på tentan

Inlämn. uppg. (2 p max) kan ge 2 p på tentan

Tentan (20 p max) 8 p godkänd

∴ Gör dugga & inlämn. uppg.!

ämnets utveckling:



relevanta storheter:

atom  $\sim 10^{-10}$  m

atomkärnan  $\sim 10^{-15}$  m

inför 1 fm =  $10^{-15}$  m (femtometer, Fermi)

$$1 \text{ u} = \left[ \frac{1}{12} {}^{12}\text{C} \right] \approx 1,661 \cdot 10^{-27} \text{ kg}$$

Einsteins ekvation (?):  $E = m_0 c^2$  [J]

$$\Rightarrow 1 \text{ u} \text{ har energin } 1,661 \cdot 10^{-27} \cdot (2,998 \cdot 10^8)^2$$

$$\approx \underline{1,49 \cdot 10^{-10} \text{ J}},$$

$$\text{eller i eV } \frac{1,49 \cdot 10^{-10}}{1,602 \cdot 10^{-19}}$$

$$\approx 931,9 \text{ MeV},$$

$$\text{vilket ger } \underline{1 \text{ u} \approx 931,9 \text{ MeV}/c^2}$$

relativistiskt:

$$\begin{cases} E = E_0 + E_{kin} = m_0 c^2 + E_{kin} \\ E = m c^2 = m_0 \gamma c^2 \end{cases}$$

$$\gamma = \frac{1}{\sqrt{1 - (v/c)^2}}$$

$$\Rightarrow \underline{E_{kin}} = E - E_0 = m_0 c^2 \left( \frac{1}{\sqrt{1 - (v/c)^2}} - 1 \right) \quad (\text{Taylorutveckla kring } (v/c)^2 = 0)$$

$$\approx \dots \approx m_0 c^2 \left\{ \frac{1}{2} (v/c)^2 + \frac{3}{8} (v/c)^4 + \dots \right\}$$

$$> \underline{\underline{\frac{1}{2} m v^2}}$$

rörelsemängd  $p = m_0 \gamma v$ ,

$$\text{bildra } \underline{E^2 - E_0^2} = m^2 c^4 - m_0^2 c^4$$

$$= m_0^2 c^4 \left\{ \frac{1}{1 - (v/c)^2} - 1 \right\}$$

$$= \frac{m_0^2 c^2 v^2}{1 - (v/c)^2} = \underline{\underline{p^2 c^2}},$$

$$\Rightarrow \underline{\underline{E^2 = p^2 c^2 + m^2 c^4}}$$

de Broigles relation  $\lambda = (h/p)$ ,  $h$  Plancks konstant


$$\underline{\underline{\hbar = \frac{h}{2\pi} \approx 6,58 \cdot 10^{-22} \text{ MeVs}}}$$

$$\Rightarrow \begin{cases} \hbar c \approx 197,35 \text{ MeVfm} \\ \frac{e^2}{4\pi\epsilon_0} \approx 1,44 \text{ MeVfm (kontrollera!)} \\ \alpha = \left( \frac{e^2}{4\pi\epsilon_0} \right) \left( \frac{1}{\hbar c} \right) \approx \frac{1}{137}, \text{ finstrukturkonstanten} \end{cases}$$

Snabb historielektion:

Grekerna - de fyra elementen,

Renässansen - (al)kemi

grundämnen,  
periodiska systemet (Mendelejev/Meyer,  
1869)atomer 

atomkärnor

(Rutherford,  
sekelskiftet)

neutroner (laddning 0),  
 protoner (laddning +e).

ex.  
 deutron : n+p (+e),  
 triton : 2n+p (+e),  
 $^3\text{He}$  : n+2p (+2e),  
 $\alpha$ -partikel : 2n+2p (+2e),

: und so weiter...

$^{238}\text{U}$  : 146n+92p (+92e), TYNGST i naturen.

Definition. Masstalet A för ett ämne definieras som  $A = Z + N$ , där Z är antalet protoner hos ämnet och N är antalet neutroner hos ämnet.

Skrivsätt.  $\begin{matrix} A \\ Z \times N \end{matrix}$ , där Z & N kan utelämnas

ex. syre : Z=8, A=16

$\Rightarrow$  isobarer, samma masstal A  $\rightarrow$   $\begin{matrix} ^{16}\text{O} \equiv (8p + 8n) \\ ^{17}\text{O} \equiv (8p + 9n) \\ ^{16}\text{F} \equiv (9p + 7n) \end{matrix}$  ← isotop, samma atomnummer Z

Att memorera!

$\alpha$ -partikel n -  $^4\text{He}$ ,  
 $\beta$ -partikel n -  $e^\pm$ ,  
 $\gamma$ -strålning - högfrekvent elektromagnetisk strålning

$$\left\{ \begin{array}{l} r_{\text{prot}} \sim 10^{-15} \text{ m, protonens radie} \\ r_e < 10^{-18} \text{ m, elektronens radie} \end{array} \right.$$

$\Rightarrow (r_{\text{prot}}/r_e) > 10^3$ , elektronen kan betraktas som pktformig.

allt kraftfullare partikelacceleratorer kom att upplaga "nya partiklar", vilka ofta visade sig vara exciterade tillstånd av protoner & neutroner, de s k nukleonerna.

- ∴ (i) nukleonerna är sammansatta partiklar
- (ii) 1 eV är inte elementarladdningen

- man införde kvarkarna,

|   |           |                              |
|---|-----------|------------------------------|
| u | (up)      | (Laddning $+\frac{2}{3}e$ ), |
| d | (down)    | (Laddning $-\frac{1}{3}e$ ), |
| s | (strange) | (Laddning $-\frac{1}{3}e$ ), |

och hadronerna (utövar stark växelverkan), som delas in i baryoner (bestående av tre kvarkar) & mesoner (bestående av en kvark & en anti-kvark).

ex. nukleonerna tillhör baryonerna

|         |   |  |
|---------|---|--|
| proton  | $\begin{array}{c} \circ u \quad \circ u \\ \circ d \end{array}$ | $q = 2(+\frac{2}{3}e) - \frac{1}{3}e = +e, \text{ OK}$ |
| neutron | $\begin{array}{c} \circ u \\ \circ d \quad \circ d \end{array}$ | $q = +\frac{2}{3}e + 2(-\frac{1}{3}e) = 0, \text{ OK}$ |

med  $E^2 = p^2c^2 + m^2c^4$  existerar två lösningar,

$$\underline{E} = \pm \sqrt{\quad}$$

Dirac postulerade existensen av anti-partiklar

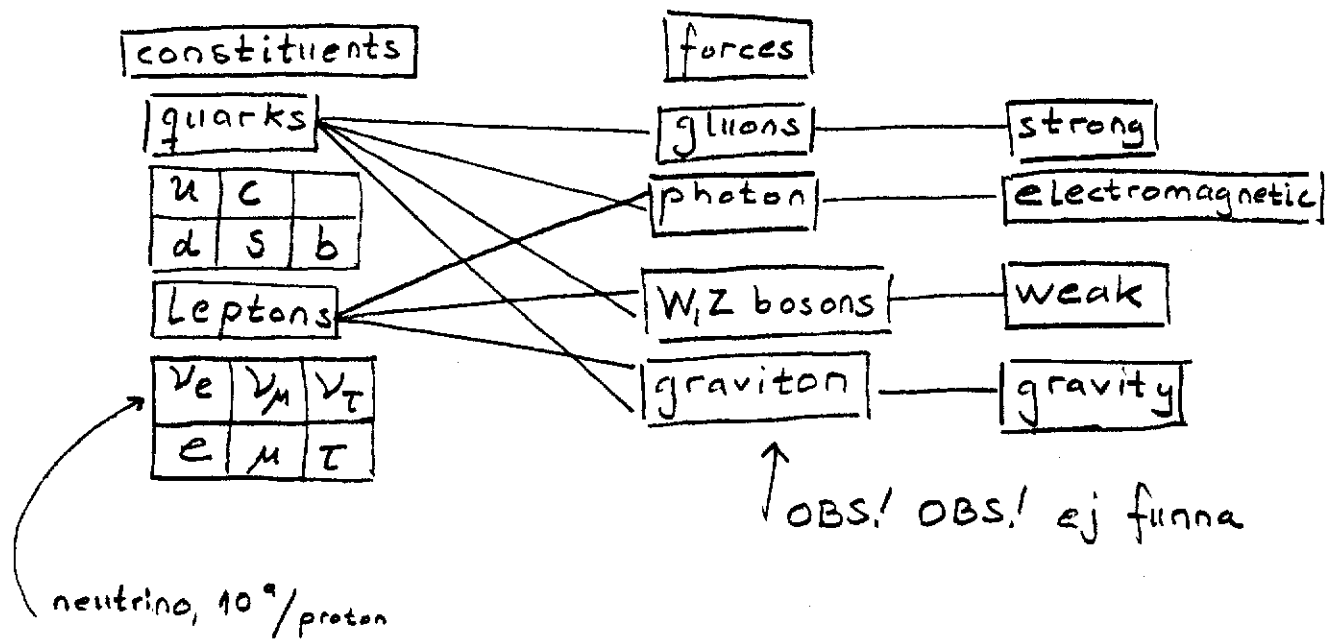
∴ varje kvark  $q$  har sin anti-kvark  $\bar{q}$   
(se meson ovan)

$\Rightarrow$  grunden för modern partikelfysik lagd

$\Rightarrow$  The Standard Model  $\Leftrightarrow$  periodiska systemet

# THE STANDARD MODEL,

SID 5,



constituents - elementarpartiklarna.

forces - de växelverkande krafterna, "limmet".

gluonerna & fotonerna masslösa

EM  $\Leftrightarrow$  weak

gravitation ej ännu förstådd

krafterna ses som utbytespartiklar

tyngre utbytespartiklar, svagare kraft, bosonerna tunga  
(jfr skridskoparet med tennisboll resp. medicinboll?)

beskrivning av atomkärnan, kräver

elektrisk laddning,

radie (materieradie, laddningsradie),

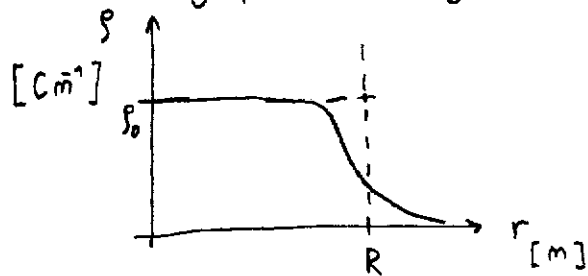
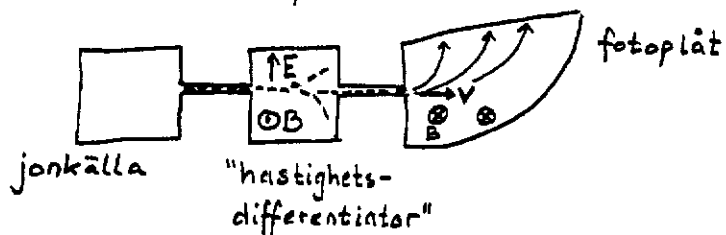
massa,

bindningsenergi (anm.  ${}^1\text{H}$ , elektronens bindningsenergi, 13,6 eV relativt vätetets totala energi, 511 keV  $\therefore$  stora energier frigörs då kärnan splittras),

impulsmoment,

exciterade tillstånd i kärnan

Laddningsfördelning i kärna.

Laddningsradien  $R$  $\rho_0 \sim$  konstant i kärnan, $\Rightarrow$  konstant täthet av neutroner & protoner inuti kärnan $\Rightarrow \frac{A}{\left(\frac{4}{3}\pi R^3\right)} \sim$  konstant,  $A$  masstalet $\Rightarrow R = R_0 \sqrt[3]{A}$ ,  $1,2 \leq R_0 \leq 1,25$  (fm)bestämning av kärnans massa,  
m h a spektrometer

$$qE = qvB \Rightarrow v = (E/B) \quad (1)$$

$$\text{vid fotoplåt} \quad \frac{mv^2}{r} = qvB \Rightarrow r = (mv/qB) \quad (2) \quad \text{för givet } v$$

$$(1) \ \& \ (2) \Rightarrow \underline{\underline{m = \frac{qrB^2}{E}}}$$

$$\text{ex.} \quad {}^{12}\text{C} \equiv 12 \text{ u},$$

$$\Rightarrow \begin{cases} \text{C}_9\text{H}_{20} & , \ A = 128 \\ \text{C}_{10}\text{H}_8 & , \ A = 128 \end{cases}$$

$$\text{masskillnaden } \Delta = m_{\text{C}_9\text{H}_{20}} - m_{\text{C}_{10}\text{H}_8} = 12m_{\text{H}} - m_{12\text{C}} \\ \approx 0,0939032 \dots \text{ u}$$

$$\Rightarrow \underline{\underline{m_{1\text{H}} \approx \frac{1}{12} (m_{12\text{C}} + \Delta) \approx 1,00782503 \text{ u}}}$$

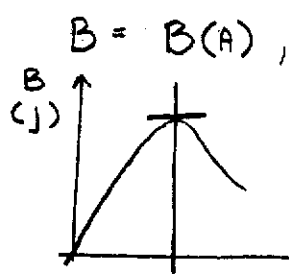


## nukleär bindningsenergi

$m_N c^2$  , nukleära massan  
 $m_A c^2$  , atomära massan

$$m_N c^2 = m_A c^2 - \underbrace{Z m_e c^2}_{\substack{\text{elektron-} \\ \text{massan} \\ \sim 500 \text{ keV/e}^-}} + \underbrace{\sum_{i=1}^Z B_i}_{\substack{\text{bindningsenergin (elektron)} \\ \sim 100 \text{ keV}}}$$

$\sim 900 \text{ MeV}$



topp för  $A = 55$  , dvs Fe

Fö 2                      940323

Definition. Bindningsenergin  $B^*$  definieras som

$$B = (Z m_p + N m_N - (m_A(^A X) - Z m_e)) c^2$$

där  $Z$  &  $N$  är antalet protoner & neutroner respektive;  $m_p, m_N, m_A(^A X)$  &  $m_e$  är protonens, neutronens, kärnans & elektronens massor respektive.

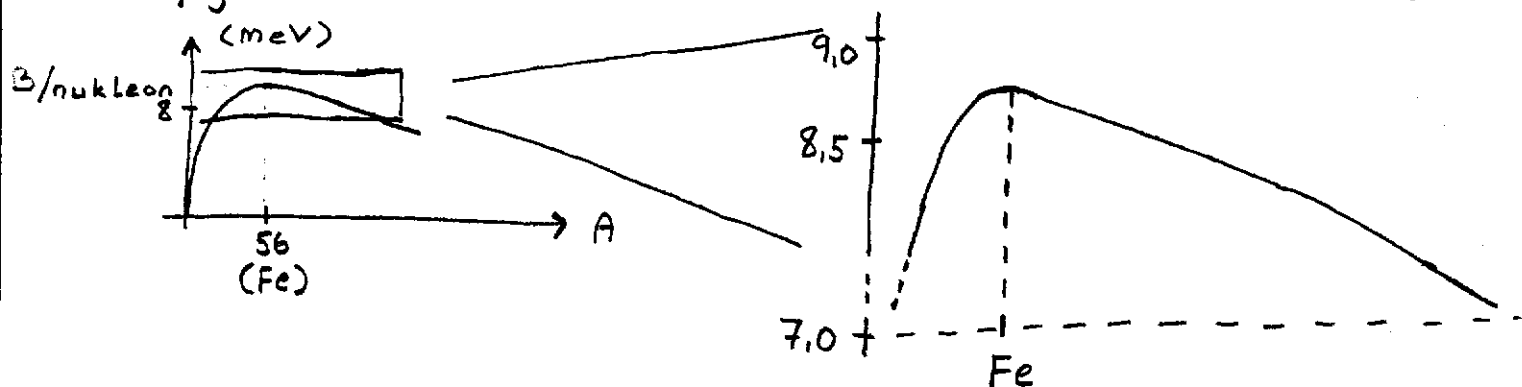
\*  
för kärnan  
 $^A X$

Uttrycket kan skrivas om som

$$\begin{aligned} B &= (Z m_p + N m_N - (m_A(^A X) - Z m_e)) c^2 \\ &= (Z (m_p + m_e) + N m_N - m_A(^A X)) c^2 \\ &= \underline{(Z (^1 H) + N m_N - m_A(^A X)) c^2} \quad (B E) \end{aligned}$$

( $m_p + m_e$ ,  
massan för  
 $^1 H$ )

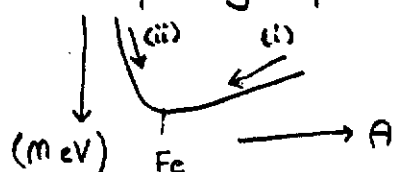
här inkluderas elektronerna



medelbindningsenergin  $\sim 8$  MeV

Fe har minimal massa/nukleon

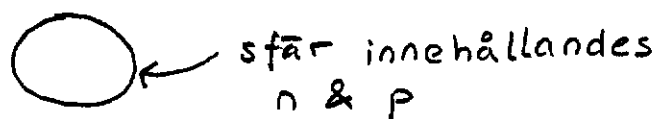
vänd på grafen



- (i) vid fission, sönderslagning av kärnor till lättare (från  $^{238}\text{U}$  och nedåt), överskottsmassa blir energivinst
- (ii) vid fusion, ihopsmältning till tyngre kärnor, tills man når järn.

(B/A) experimentellt givet enl. figur 3.16.

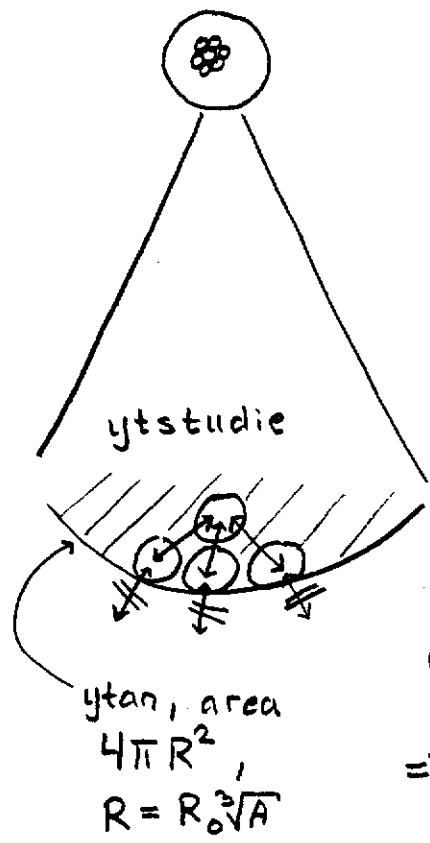
Byggandet av en modell för atomkärnans massa.  
vätskedroppsmodellen.



bindningsenergin är till en grov approximation konstant,

$$B = a_v A, \quad a_v \approx 8,5 \text{ MeV} \quad (1)$$

(1) ger ett fel på högst 1 MeV.



inne i "vätskedroppen" råder ett "mättat" tillstånd m ap nukleoner (konstant täthet), och då växelverkan dem emellan är svag, påverkar endast de närmaste grannarna en nukleon i kärnan

nukleonerna vid ytan kommer att ha ett lägre antal grannar än en nukleon längre in.

=> modifiera (1) med en "ytterterm", enl

$$\underline{B = a_v A - a_s A^{2/3}} \quad (2)$$

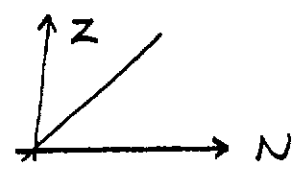
\* =>  $4\pi R^2 = 4\pi R_0^2 (\sqrt[3]{A})^2$

∴ kärnans yta proportionell mot  $A^{2/3}$ , dvs "yttermen" proportionell mot  $A^{2/3}$

elektrisk repulsion protonerna emellan kommer att minska B,

$$\underline{B = a_v A - a_s A^{2/3} - \frac{2}{5} \frac{e^2}{4\pi\epsilon_0} \frac{Z(Z-1)}{R_0 \sqrt[3]{A}}} \approx a_v A - a_s A^{2/3} - a_c \frac{Z^2}{\sqrt[3]{A}} \quad , a_c \approx 0,7 \text{ MeV} \quad (3)$$

Hurpass väl stämmer (3) med fakta? Kommer (3) insatt i (BE), sid 7 ge oss ett utseende enl



, där  $Z=N$  - linjen svarar mot de mest stabila Z-värdena för givet masstal A.

(3) i (BE), sid 7

$$\Rightarrow M(A, Z) = Z(^1H) + Nm_N - \frac{1}{c^2} (a_v A - a_s A^{2/3} - a_c \frac{Z^2}{\sqrt[3]{A}})$$

$$(N=A-Z) \Rightarrow \left. \frac{\partial M}{\partial Z} \right|_{A \text{ konstant}} = m(^1H) - m_N + 2 \left( \frac{a_c Z}{c^2 \sqrt[3]{A}} \right)$$

sök minimum,  $\left( \frac{\partial M}{\partial Z} \right)_A = 0 \Rightarrow Z_{\min} = \frac{1}{2} \frac{(m_N - m(^1H)) c^2 \sqrt[3]{A}}{a_c}$

$$(m_N - m(^1H)) c^2 \approx 0,782 \text{ MeV} \Rightarrow \underline{Z_{\min} \approx 0,54 \sqrt[3]{A}}$$

test,  $A = 50 \Rightarrow Z_{\min} = 2!$

Här måste ytterliggare termer införas!

Ur ett resonemang grundat på statistisk mekanik får man symmetri termen,

$$-a_{\text{sym}} \cdot \frac{(A-2Z)^2}{A} = -a_{\text{sym}} \cdot \frac{(N-Z)^2}{A} \quad (\text{S T}).$$

(ST) försvinner för  $N=Z$ , men kommer då  $Z$  avviker alltför mycket verka korrigerande.

$$\Rightarrow B = a_v A - a_s A^{2/3} - a_c \frac{Z^2}{\sqrt{A}} - a_{\text{sym}} \frac{(A-2Z)^2}{A} \quad (4)$$

Upprepa stegen längst ned på sid 9,

$$\left(\frac{\partial M}{\partial Z}\right)_A = 0,$$

$$\Rightarrow \dots \Rightarrow Z_{\min} = \frac{(m_N - m(^1H)) \chi^2 + 4a_{\text{sym}}}{2a_c A^{-1/3} + 8a_{\text{sym}} A^{-1}},$$

vilket överrenstämmer avsevärt bättre med uppmätta resultat.

ex. Beräkna bindningsenergin för en proton för ett ämne kan göras genom att man beräknar bindningsenergin för ämnet med en proton mer än det ursprungliga ämnet,

$$\Rightarrow B_p = B_{A+p} - B_A, \text{ där } A \text{ är masstalet för det ursprungliga ämnet.}$$

Atomer med jämnt masstal är starkare bundna än de med udda masstal,

(beror på parbildning)

Man införde nu (föga överraskande) ytterligare en term, termen  $\delta$  sådan att

$$\delta \begin{cases} > 0, & \text{då } Z \ \& \ N \text{ jämna (jämna/jämna)} \\ = 0, & \text{då } Z \text{ el. } N \text{ udda (jämna/udda)} \\ < 0, & \text{då } Z \ \& \ N \text{ udda (udda/udda)} \end{cases}$$

Detta ger oss ett uttryck för kärnmassan  $M(Z)$  för konstant  $A$  på formen

$$M(Z) \Big|_{A \text{ konstant}} = k_0 + k_1 Z + k_2 Z^2 + \frac{E_{\text{pair}}}{2Z},$$

↑ från  $\delta$

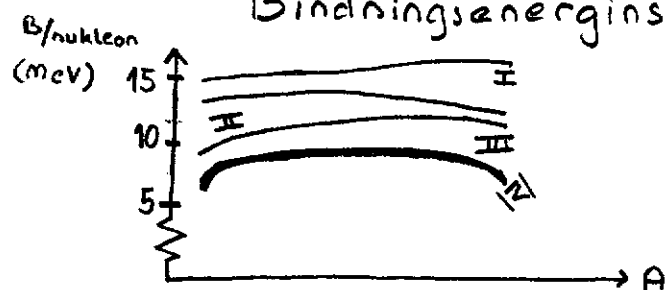
som ju är en parabel.

∴ Udda  $A$  ger endast en stabil kärna  $\checkmark$   $A$  udda  
Jämna  $A$  ger upphov till två stabila isotoper

2 $\delta$   $\checkmark$   $A$  jämn

vilket korrekt förutsäger faktiska resultat.

### Bindningsenergis sammansättning



- I volym- & symmetrienergi
- II ytenergi (större för små  $A$ )
- III coulombenergi (växer med  $Z$ )
- IV totala bindningsenergin/nukleon

"Never in the field of human conflict was so much owed by so many to so few."


Sir Winston Churchill, tal i House of Commons,  
20. augusti 1940

"The maxim of the British people is 'Business as usual'."

Sir Winston Churchill, tal i Guildhall,  
9. november 1914

spinn hos nukleonerna.

består av

- (i) egenspinn  $\uparrow \phi$   $\bar{s}$  ;  
 (ii) banimpulsmoment   $\bar{l}$  ;

där potentialen i vilken nukleonen rör sig  
 i skapas av de övriga nukleonerna

$$\bar{j} = \bar{l} + \bar{s} \quad \text{för en nukleon.}$$

spinn hos kärnan (totala banimpulsmomentet)

$$\mathbf{I} = \sum_{n=1}^A \bar{j}_n$$

pga parbildning paras nukleoner med  
 motsatt spinn ihop och tar spinnmässigt ut  
 varandra, d v s

$$A \text{ jämn, } \mathbf{I} = 0,$$

$$A \text{ udda, } \mathbf{I} \text{ heltalsmultipel av } \frac{1}{2}.$$

ex.  $\mathbf{I} = \frac{3}{2}$  , med positiv/negativ paritet

$$I^\pi = \frac{3}{2}^+$$

$$I^\pi = \frac{1}{2}^-$$

totala pariteten är produkten av  
 nukleonernas paritet.

---

magnetiskt dipolmoment.

$$\bar{\mu} = \frac{1}{2} \frac{e\hbar}{m} \bar{l} = g_L \mu_N \bar{l}, \quad \mu_N = \frac{1}{2} \frac{e\hbar}{m}$$

där  $\mu_N$  är nukleära magnetonen ( $\mu_N \approx 0,032 \mu\text{eVT}^{-1}$ ),

för neutronen :  $g_L = 0$

för protonen :  $g_L = 1$ .

magnetiskt spinnmoment.

$$\mu = g_S s \mu_N, \quad s = \frac{1}{2}$$

Dirac ville ha  $g_S = 2$  men mätningar gav  $g_S$  för elektronen som  $g_S \approx 2,0023$ .

Avvikelsen förklarades m.h.a. Feynmans kvantumelektrodynamik ända ned till 12. decimalen.

Men hur skulle man förklara uppmätta värden för nukleonerna - för protonen  $g_S \approx 5,58$  & för neutronen  $g_S \approx -3,82$ ?

Kanske så här:



$$q_u = +\frac{2}{3}e$$

$$q_d = -\frac{1}{3}e$$

mätningarna ovan utfördes på 40-talet och var de första tecknen på kvarkar.

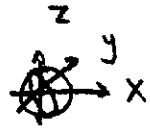
elektriskt kvadrupolmoment.

fås ur termutveckling av E-fältet ?  
och ges av kvantmekaniken för en proton  
som

$$eQ = e \int \Psi^* (3z^2 - r^2) \Psi \, dv.$$

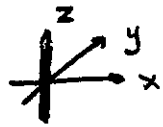
sferisk symmetri.

$$x = y = z \Rightarrow 3z^2 - r^2 = 0$$



längs med z-axeln.

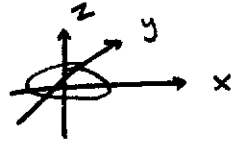
$$x = y = 0, \quad z^2 = r^2$$



$$\Rightarrow Q > 0$$

planpolärt.

$$z = 0, \quad x^2 + y^2 = r^2$$



$$\Rightarrow Q < 0$$

$\therefore$  inget 4-polmoment för sfärisk symmetri,  
positivt 4-polmoment om rörelse längs med z-axeln,  
negativt 4-polmoment om plan rörelse.

---

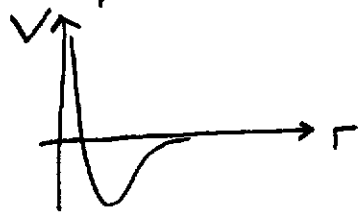


FÖ 3 940411

Kraft mellan nukleonerna (den starka växelverkan).

allmänna egenskaper:

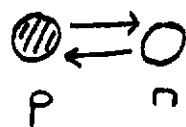
- (i) stark vid små avstånd (relativt coulomb)
- (ii) försumbar vid stora avstånd (relativt coulomb)
- (iii) påverkar ej Leptonerna
- (iv) Laddningsoberoende
- (v) spinnberoende
- (vi) repulsiv vid "point blank"



potentiellt utseende

Atomfysiken börjar med att behandla väteatomen under coulombkraften, vilket ger upphov till elektronfördelningarna i form av orbitaler.

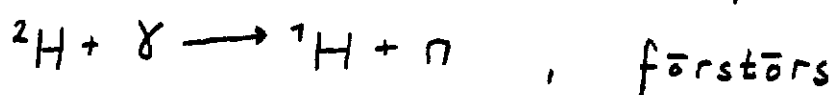
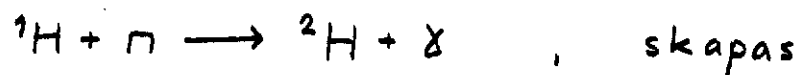
"Kärnfysikens väteatom" är deuteronen  ${}^2\text{H}$



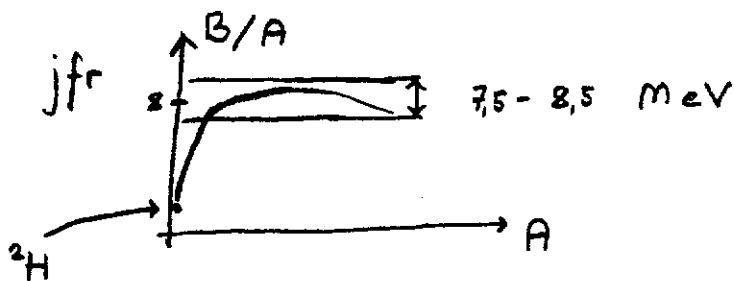
Deuteronen saknar exciterade tillstånd, dvs uppvisar inga högre energitillstånd med lägre grad av bundenhet.

Dess bindningsenergi är

$$B = [m({}^1\text{H}) + m(\text{n}) - m({}^2\text{H})]c^2 = 2,22 \text{ MeV},$$

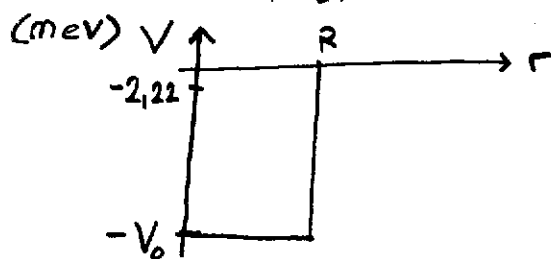


$$E_\gamma = 2,22 \text{ MeV}$$



Deutronsens bindningsenergi avsevärt lägre än för det stora flertalet.

En första modellering - en 3D laddpotential à la kvant.



$$V(r) = \begin{cases} -V_0, & r < R \\ 0, & r \geq R \end{cases}$$

Ansätt  $\psi(r) = \frac{1}{r} u(r)$ ,

in i Schrödinger (Krane, ekv. (2.4), sid. 12),

$$-\frac{\hbar^2}{2m} \frac{d^2 u}{dr^2} + V(r)u(r) = Eu(r)$$

$$r < R: \quad u(r) = A \sin k_1 r + B \cos k_1 r, \\ k_1^2 = \frac{2m}{\hbar^2} (E + V_0)$$

$$r > R: \quad u(r) = C e^{-k_2 r} + D e^{+k_2 r}, \\ k_2^2 = -\frac{2mE}{\hbar^2} \quad (E < 0)$$

Begränsade lösningar -  $B = D = 0$ ,

$$(RV) - \quad \begin{cases} A \sin k_1 R = C e^{-k_2 R} & (1) \\ A k_1 \cos k_1 R = -k_2 C e^{-k_2 R} & (2) \end{cases}$$

Dividera (2) med (1),

$$k_1 \cot k_1 R = -k_2$$

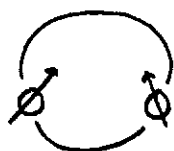
$$\Rightarrow V_0 = -35 \text{ MeV}$$

Uppmätta värden.

$$-50 \leq V_0 \leq -30 \text{ (MeV)}$$

Spinn med paritet,  $I^\pi = 1^+$

Deutronen ser alltså ut ungefär så här



med totala banimpuls-  
momentet

$$\underline{\underline{I = s_n + s_p + L}}$$

De uppmätta värdena ger oss följande möjliga kombinationer av spinn  $s$  & banimpuls  $l$  ( $s = \frac{1}{2}$ )

(i)  $\uparrow \uparrow$ ,  $l = 0$

(ii)  $\uparrow \downarrow$ ,  $l = 1$

(iii)  $\downarrow \downarrow$ ,  $l = 1$  (enl.  $|I| = 1$ )

(iv)  $\uparrow \downarrow$ ,  $l = 2$  (enl.  $|I| = 1$ )

pariteten ges av  $(-1)^l$ , vilket utesluter (ii) & (iii).

Antag att  $l = 0$ , dvs i kombination (i).  
(orbitalbidraget till det totala magnetiska momentet noll)

Då ges det totala magnetiska momentet av

$$\mu = \mu_n + \mu_p = \frac{g_s^n \mu_N}{\hbar} s_n + \frac{g_s^p \mu_N}{\hbar} s_p.$$

med  $s_n = s_p = \frac{1}{2} \hbar$  (max-värdet) &  $\mu_N$  nukleonmagnetonen,

$$g_s^n = -3,8261, \quad g_s^p = 5,887 \text{ f\u00e4s}$$

$$\mu = 0,877804 \mu_N.$$

Uppmätt värde är

$$\mu = 0,857436 \mu_N,$$

vilket ger ett "nja".

Antag att en blandning av  $l=0$  &  $l=2$  tillstånd är en korrektare beskrivning av neutronen,

$$\Psi = a_s \Psi|_{l=0} + a_d \Psi|_{l=2}$$

ger

$$\mu = a_s^2 \mu|_{l=0} + a_d^2 \mu|_{l=2}.$$

Räkningar baklänges med uppmätt värde ger ca 4% av  $l=2$  tillståndet.

Kvadrupolmomentet är uppmätt till

$$Q = 0,00288 b$$

(Nja) Det behövs

Kärnmodeller för tyngre kärnor.

måste: (i) beskriva observerade egenskaper,  
och (helst) (ii) kunna förutsäga resultat av nya mätningar

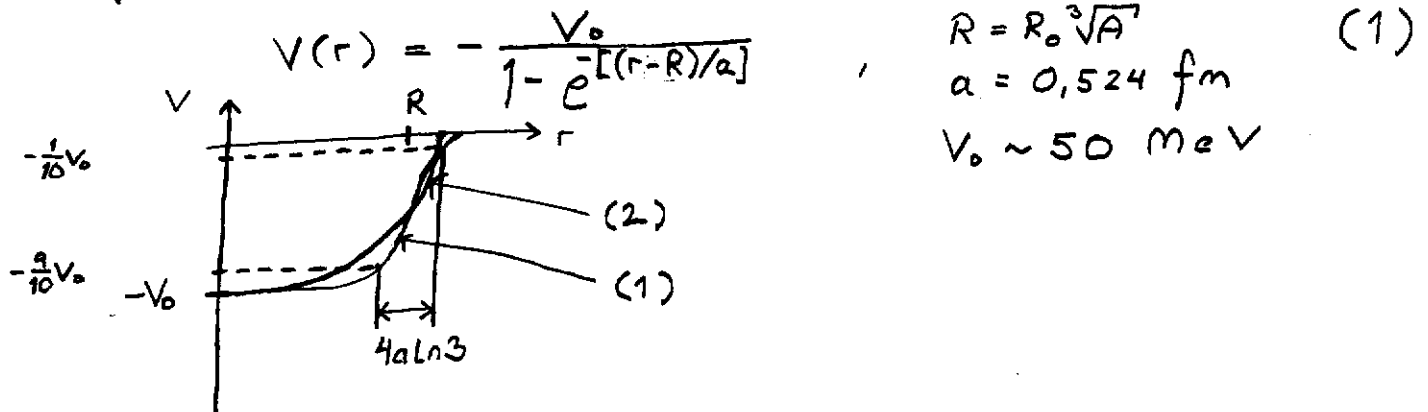
figurerna på sid 119 ff i Krane uppvisar en regelbundenhet liknande den som uppstår i atomfysikens skalmodell.

Detta leder till ...

(Nukleära) skalmodellen.

De magiska talen (2, 8, 20, 28, 50, 82 & 126) skulle isåfall ange antalet nukleoner för de slutna skalerna.

Inför en mer realistisk potential, Wood-Saxons,



och approximera Wood-Saxons med en 3D harmonisk oscillator,

$$V(r) = \frac{1}{2}kr^2 - V_0 \quad , \quad (2)$$

$$E_n = \hbar\omega_0 \left( \frac{3}{2} + n \right) \quad , \quad \text{ger } \begin{cases} n \text{ udda} \Rightarrow l \text{ udda} \\ n \text{ jämn} \Rightarrow l \text{ jämn} \end{cases}$$

Tabell.

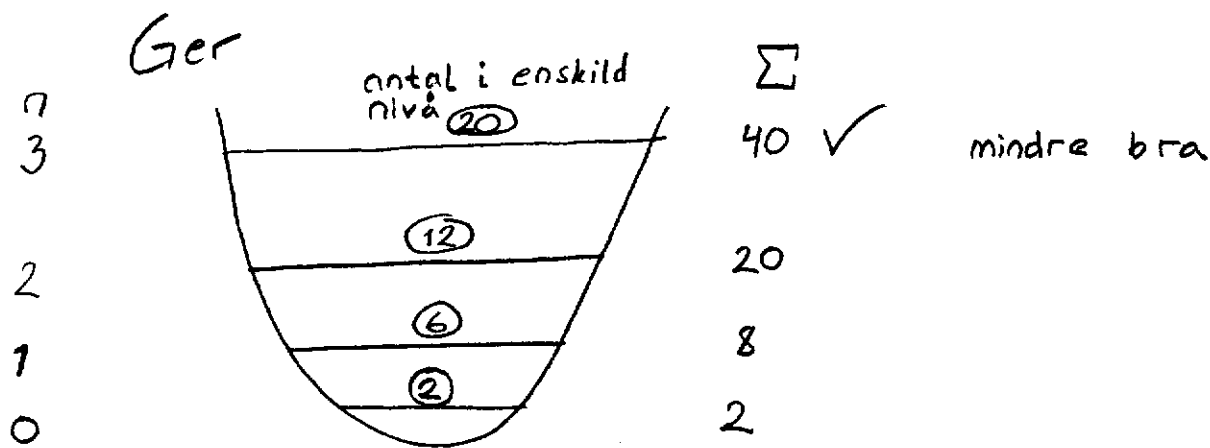
| $n$ | $l$ | $E_n$                      |
|-----|-----|----------------------------|
| 0   | 0   | $\frac{3}{2}\hbar\omega_0$ |
| 1   | 1   | $\frac{5}{2}\hbar\omega_0$ |
| 2   | 0   | $\frac{7}{2}\hbar\omega_0$ |
|     | 2   | $\frac{7}{2}\hbar\omega_0$ |
| 3   | 1   | $\frac{7}{2}\hbar\omega_0$ |
|     | 3   | $\frac{9}{2}\hbar\omega_0$ |

Givet  $n$  antar  $l$  värdena  
 $l = n, n-2, \dots$

Degenerositet.

$l$  ger  $2l+1$  tillstånd  
 $(m_l = -l, -(l-1), \dots, l)$

$s = \frac{1}{2}$  ger  $2s+1 = 2$  tillstånd  
 $(m_s = -\frac{1}{2}, +\frac{1}{2})$



ex.  $n=3$ , har  $\sum_1^3 2 \cdot (2l+1)$  tillstånd, d vs

$2 \cdot (2 \cdot 1 + 1) + 2 \cdot (2 \cdot 2 + 1) = 6 + 14 = 20$  tillstånd,  
addera lägre nivåers tillstånd

$\Rightarrow 40$

Lathund: antal tillstånd för en nivå  $n$  är  
 $(n+1)(n+2)$ .

något är mindre bra eftersom de magiska talen inte fås efter  $n=2$  nivån.

Leder oss till inkludering av  
(nukleär) spinn-bankoppling

(i analogi med atomfysiken, dock ej av elektromagnetisk karaktär)

Skrivs som

$V_{SO}(r) \bar{l} \cdot \bar{s}$ , där  $V_{SO}$  ointressant för tillfället.

Ett tillstånd betecknas nu med totala banimpulsmomentet  $\bar{j} = \bar{l} + \bar{s}$   $\left\{ \begin{array}{l} s = \frac{1}{2} \\ j = l \pm \frac{1}{2} \end{array} \right. ; l=0 \Rightarrow j = +\frac{1}{2}$

$$\Rightarrow j^2 = (\bar{l} + \bar{s})^2 = l^2 + 2\bar{l} \cdot \bar{s} + s^2$$

$$\Rightarrow \bar{l} \cdot \bar{s} = \frac{1}{2} (j^2 - l^2 - s^2)$$

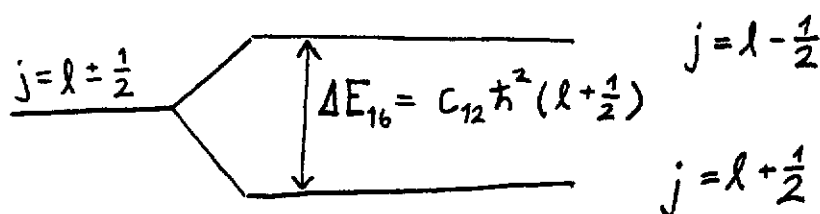
$$\Rightarrow \langle \bar{l} \cdot \bar{s} \rangle = \frac{1}{2} \hbar^2 [j(j+1) - l(l+1) - s(s+1)]$$

Låt  $\bar{l} \cdot \bar{s}$  verka på tillståndet  $m$ ,

$$\bar{l} \cdot \bar{s} |m\rangle = \begin{cases} \frac{1}{2} \hbar^2 l |m\rangle & \text{för } j = l + \frac{1}{2} \quad (s = \frac{1}{2}) \\ -\frac{1}{2} \hbar^2 l |m\rangle & \text{för } j = l - \frac{1}{2} \quad (s = -\frac{1}{2}) \end{cases}$$

$\therefore$  uppsplittringen proportionell mot  $l$  & med en negativ potential  $V_0$  kommer det större  $j$ -värdena tryckas ned.

ex.  ${}^5_3\text{Li}_2$ ,  $l = 1$ ,  $I = \frac{3}{2}$



nomenklatur:

|     |          |                      |     |                    |
|-----|----------|----------------------|-----|--------------------|
| $n$ | $l$      |                      |     |                    |
| 0   | 0        | $1s_{1/2}$           |     | (1. s-tillståndet) |
| 1   | 1        | $1p_{1/2}, 1p_{3/2}$ |     |                    |
| 2   | 0        | $2s_{1/2}$           |     | (2. s-tillståndet) |
|     | 2        | $1d_{3/2}, 1d_{5/2}$ |     |                    |
| 3   | 1        | $2p_{1/2}, 2p_{3/2}$ |     |                    |
|     | 3        | $1f_{5/2}, 1f_{7/2}$ |     |                    |
|     | $\vdots$ |                      |     |                    |
|     | $\vdots$ |                      |     |                    |
| 1   | 1p       | $1p_{1/2}$ — 2       | — 8 |                    |
|     |          | $1p_{3/2}$ — 4       |     |                    |
| 0   | 1s       | $1s_{1/2}$ — 2       | — 2 |                    |

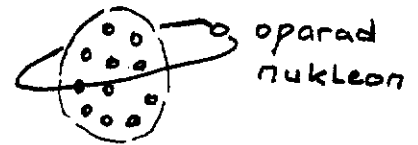
reproducerar de magiska talen samt förutsäger inom modellens giltighetsområde spinns & paritet.

FÖ 4 940414

∴ skalmodellen m. harmoniska oscillatorn m.  
spinn-bankoppling reproducerar de  
magiska talen.

### Skalmodellen

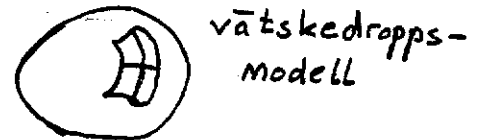
parbildningen gör att  
jämn-jämna kärnor har  
grundtillståndet  $I=0^+$   
sista oparade nukleonen  
bestämmer kärnans  
spinn-paritet.



en nukleon betraktas  
som en oberoende  
partikel i en potential

### kollektiva excitationer

vibrationer,



$$\text{radien } R(t) = R_{av} + \sum_{\lambda \geq 1} \sum_{\mu = -\lambda}^{+\lambda} \alpha_{\lambda\mu}(t) Y_{\lambda\mu}(\theta, \varphi),$$

spegelsymmetri  $\alpha_{\lambda\mu} = \alpha_{\lambda, -\mu}$

$$R_{av} = R_0 A^{1/3}$$

studera figuren 5.18, sid. 140 i Krane

$\lambda=0$  inga vibrationer,

$\lambda=1$  dipol, vibrerande sfär

$\lambda=2$  kvadrupol, föränderlig ellips

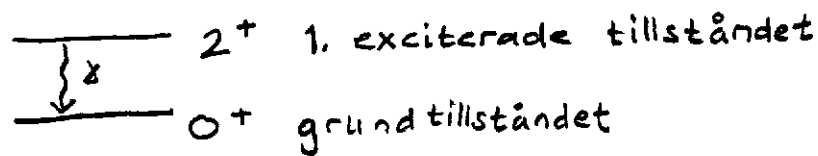
$\lambda=3$  oktopol, "päron"

i analogi med det elektromagnetiska kvantat,  
fotonen använder vi vibrationskvantat  
fononen



$E_0 \quad \lambda=2$  "enhet"  $\equiv$  kvadrupolfonon

$$\pi Y_{2\mu} = (-1)^2 Y_{2\mu} \quad , \quad \text{j\u00e4mn paritet}$$



addera ytterligare en kvadrupolfonon till  
1. exciterade tillst\u00e5ndet,

5 tillst\u00e5nd per 4-fonon  $\Rightarrow$  25 tillst\u00e5nd

| $\mu$ | -2 | -1 | 0  | 1  | 2 |
|-------|----|----|----|----|---|
| -2    | -4 | -3 | -2 | -1 | 0 |
| -1    | -3 | -2 | -1 | 0  | 1 |
| 0     | -2 | -1 | 0  | 1  | 2 |
| 1     | -1 | 0  | 1  | 2  | 3 |
| 2     | 0  | 1  | 2  | 3  | 4 |

1 st:  $(2,2) \rightarrow 4$

2 st:  $(1,2), (2,1) \rightarrow 3$

(ger upphov till en v\u00e4gfktn

$$Y_{12} = \frac{\sqrt{2}}{2} (Y_A Y_{13} + Y_{13} Y_A), \text{ sid. 39,}$$

heltalsspinn kr\u00e4ver  
symmetriska totala  
v\u00e4gfktner )

"Det h\u00e4r \u00e4r bara kvantmekanik",  
f\u00f6rel\u00e4saren

ger  $l=4 \quad \mu = -4, -3, \dots, +3, +4$

$l=2 \quad \mu = -2, -1, 0, +1, +2$

$l=0 \quad \mu = 0$

fig. 5.19, sid. 141 i Krane,  $\frac{E(4^+)}{E(2^+)} = 2,0$

l\u00e5s g\u00e4rna i Krane, f\u00f6r h\u00e4r var det r\u00f6rligt.

hemuppgiftsanknytning


slå i "Table of Isotopes" & karakterisera kärnor

vibrationer är excitationer av kärnan och förändrar nukleonernas inre positioner

Rotationer av deformerade kärnor i grundtillståndet.

$$\text{radien } R(\theta, \varphi) = R_{av} \left\{ 1 + \beta \underbrace{Y_{20}}_{\text{kvadrupol}}(\theta, \varphi) \right\}$$

deformationsparametern  $\beta$

$\beta > 0$  prolatt form (amerikansk fotboll) 

$\beta < 0$  oblat form (nattvarden) 

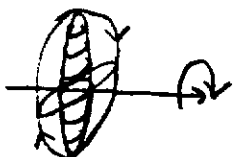
kvadrupolmomentet ges av

$$eQ = e \int Y^*(3z^2 - r^2) Y dv$$

enl. SID. 14 har prolatten  $Q > 0$   
& oblaten  $Q < 0$ ,

MEN då man endast kan mäta interna förändringar i kärnan, kommer man att för prolatten se en oblat ( $Q < 0$ ) & vice versa.

(fig. 5.21, sid. 144)



roterande prolatt  
ser ut som en oblat

Kinetisk energi för en roterande kropp (stel)  
(Ph. Hdbk, sid. 132)

$$\begin{cases} E_K = \frac{1}{2} J \omega^2 \\ l = J \omega \end{cases} \Rightarrow E_K = \frac{l^2}{2J}$$

$$\xrightarrow{\text{kvant}} E_K = \frac{\hbar^2}{2J} I(I+1)$$

{ jämn-jämna kärnor  $\Rightarrow$  jämn paritet  
spegelsymmetri  $\Rightarrow$  jämna I

$$\Rightarrow 2^+, 4^+, 6^+, \dots$$

$$\begin{cases} E(2^+) = \frac{\hbar^2}{2J} \cdot 6 \\ E(4^+) = \frac{\hbar^2}{2J} \cdot 20 \end{cases} \Rightarrow \frac{E(4^+)}{E(2^+)} = \frac{20}{6} \approx 3,33$$

ex.  ${}_{72}^{170}\text{Hf}$

|          |                      | (keV) |      |
|----------|----------------------|-------|------|
|          | 6 <sup>+</sup> _____ | 641,1 |      |
| uppmätt. | 4 <sup>+</sup> _____ | 320,6 | ] OK |
|          | 2 <sup>+</sup> _____ | 100,0 |      |
|          | 0 <sup>+</sup> _____ | 0     |      |

$$\text{teori. } 100 = \frac{\hbar^2}{2J} \cdot 6 \Rightarrow \frac{\hbar^2}{2J} = \frac{50}{3}$$

$$\Rightarrow E(6^+) = \frac{50}{3} \cdot \frac{42}{1} = 700 \text{ (keV) OK}$$

observera att det inte rör sig om stelkropps-rotation



stelt



ytväg,

intern rörelse i kärnan

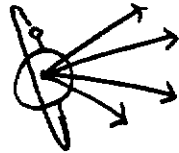
ovan gäller för jämn-jämna kärnor.

vad gäller för udda-A kärnor?



enl. skalmodellen  
finns  $2j+1$  degenererade  
energitalstånd för givet  
spinn med skilda projektioner.

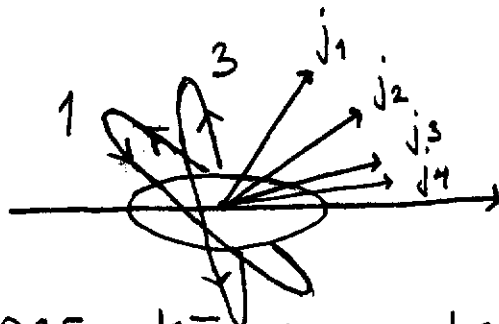
Pga (den sfäriska) symmetrin känner  
banan ingen skillnad dem emellan.



Ses kärnan som deformerad upphör rums-  
oberoendet och man får ett energitalskott  
map banans orientering.

(fig. 5.26, 152)

prolat

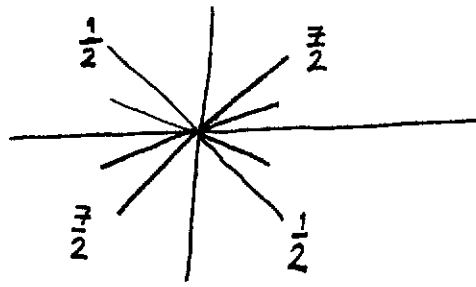


(negativa projek-  
tionerna ej  
med)

1 överlappar kärnans laddningsfördelning  
mer än 3, där 1 är banan svarande  
mot minsta spinnkomponenten

för oblaten blir pss största spinnkompo-  
nenten mest påverkad av kärnan.

större växelverkan svarar mot en lägre energi



$\beta < 0$   
(oblat)

$\beta > 0$   
(prolat)

ex.  ${}^{17}_8\text{O}_9$  (enl. skalmodellen)  $I^\pi = \frac{5}{2}^+$

${}^{19}_{10}\text{Ne}_9$  (deformerad med  $\beta \approx +0,2$ )  $I = \frac{1}{2}^+$

Att kunna läsa diagram med uppsplittring ovan  
gås igenom på räkneövningarna. Bra att kunna.  
(studera extrablad i läshandledningen)

## radioaktivitet

grundantagande. konstanta sannolikheter  
för sönderfall

$N$  antalet radioaktiva atomer

$$dN \sim -N dt$$

$$dN = -\lambda N dt$$

$$\Rightarrow N = N|_{t=0} \cdot e^{-\lambda t}, \quad N|_{t=0} = N_0$$

halveringstid  $t_{\frac{1}{2}}$

$$N(t_{\frac{1}{2}}) = \frac{1}{2} N_0,$$

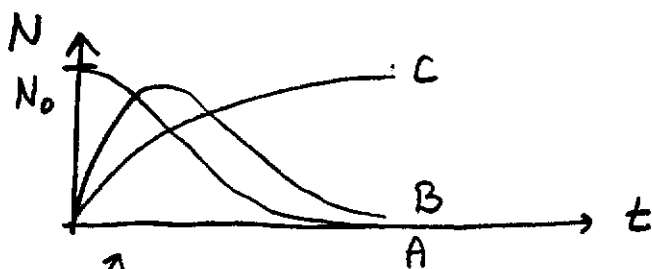
$$t_{\frac{1}{2}} = \frac{1}{\lambda} \ln 2$$

medellivslängd  $\tau$

$$\tau = \int_0^{+\infty} t \left| \frac{dN}{dt} \right| dt \cdot \left( \int_0^{+\infty} \left| \frac{dN}{dt} \right| dt \right)^{-1} = \frac{1}{\lambda}$$

med  $A \xrightarrow{\lambda_A} B \xrightarrow{\lambda_B} C$ ,  $C$  stabil

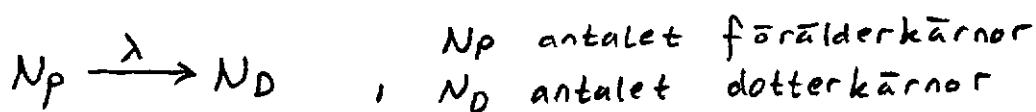
$$\begin{cases} \frac{dN_A}{dt} = -\lambda_A N_A \\ \frac{dN_B}{dt} = \lambda_A N_A - \lambda_B N_B \\ \frac{dN_C}{dt} = \lambda_B N_B \end{cases}$$



$$N_A + N_B + N_C = N_0$$

↑ OBS ungefärligt utseende

användes främst till datering av gamla objekt.



för  $t = t_0$  är  $N_D(t_0) = 0$ ,

$$\text{ger} \quad \begin{cases} N_D(t_1) + N_p(t_1) = N_p(t_0) & (1) \\ N_p(t_1) = N_p(t_0) e^{-\lambda \frac{(t_1 - t_0)}{\Delta t}} & (2) \end{cases}$$

$$\stackrel{(2)}{\Rightarrow} \Delta t = \frac{1}{\lambda} \ln \left\{ \frac{N_p(t_0)}{N_p(t_1)} \right\} \stackrel{(1)}{=} \frac{1}{\lambda} \ln \left\{ 1 + \frac{N_D(t_1)}{N_p(t_1)} \right\} \quad (3)$$

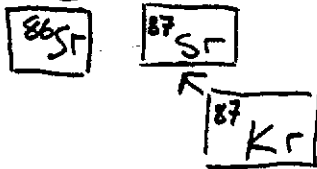
$N_D(t_1)$  &  $N_p(t_1)$  mätes

(3) är basen för kol-14 metoden som sträcker sig ca 50000 år bakåt.

Om  $N_D(t_0) \neq 0$  blir (1)

$$N_D(t_1) + N_P(t_1) = \underbrace{N_D(t_0) + N_P(t_0)}_{\text{okänd}} \quad (1')$$

omväg



, där  $^{86}\text{Sr}$  stabil & utan föräldrar, dvs

$$\underline{N_D'(t_0) = N_D'(t_1)}$$

$$(1') \Rightarrow \frac{N_D(t_1) + N_P(t_1)}{N_D'(t_1)} = \frac{N_D(t_0) + N_P(t_0)}{N_D'(t_0)}, \quad (N_P(t_0) = N_P(t_1)e^{\lambda(t_1-t_0)})$$

$$\Rightarrow \frac{N_D(t_1)}{N_D'(t_1)} = \frac{N_P(t_1)}{N_D'(t_1)} [e^{\lambda(t_1-t_0)} - 1] + \frac{N_D(t_0)}{N_D'(t_0)}$$

ger den räta linjen

$$y = x \cdot m + b$$

under antagandet att  $\frac{N_D(t_0)}{N_D'(t_0)}$  konstant mätes olika värden på  $(x, y)$ .

Ger fig. 6.11, sid. 183 &

jordens ålder  $t_1 - t_0 = 4,5$  miljarder år

FÖ 5, 940418

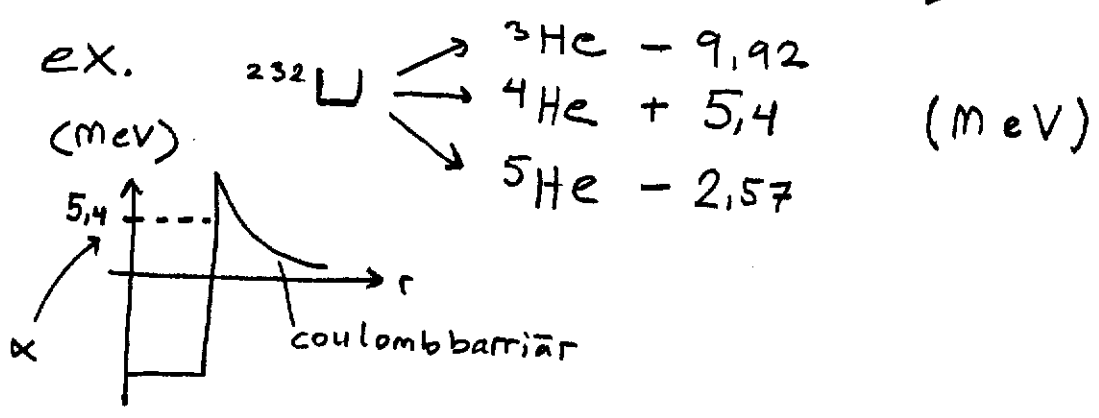
# $\alpha$ - & $\beta$ - sönderfall

## $\alpha$ - sönderfall

Definition.  $\alpha$ -partikeln definieras som  ${}^4_2\text{He}$  (den 1. dubbelmagiska kärnan)

Bindningsenergin  $B_\alpha = [2 \cdot 1,008664 + 2 \cdot 1,007825 - 4,027240] = \underline{\underline{28,3 \text{ MeV}}}$ , vilket är relativt stort

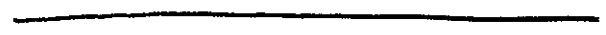
(jfr medelvärdet  $\sim 8 \text{ MeV}$ )



olika sönderfall med frigjorda energimängder

$\alpha$ -partikeln rör sig i kärnan och är fri först då coulombbarriären penetrerats.

Gamow fann denna penetrationssannolikhet för  $\alpha$ -sönderfall.





allmänt.  ${}^A_Z X \rightarrow {}^{A-4}_{Z-2} X' + \alpha$

SID 31.

energikonservering.  $m_x c^2 = m_{x'} c^2 + m_\alpha c^2 + T_{x'} + T_\alpha$ , (1)

dar  $T_{x'}$  är nya kärnans rehyl vid  $\alpha$ -partikelns uttråde med kinetiska energin  $T_\alpha$ .

(1)  
 $\Rightarrow (m_x - m_{x'} - m_\alpha) c^2 = T_{x'} + T_\alpha$  (2)

inför Q-faktorn,  $Q_\alpha \equiv (m_x - m_{x'} - m_\alpha) c^2$

(2)  
 $\Rightarrow T_{x'} + T_\alpha = Q_\alpha$

Då  $Q_\alpha > 0$  kommer systemet vinna energi &  $\alpha$ -sönderfallet inträffar.

momentets bevarande.

$t = 0$   $\odot$

$t > 0$   $\leftarrow \odot' \quad \odot \rightarrow P_\alpha$   
 $P_{x'}$

$\Rightarrow P_{x'} = P_\alpha$  (3)

(4)  $T = \frac{p^2}{2m_\alpha}$  ( $T$  relativistiskt) då  $T \sim 5$  MeV att jämföra med totala 4 GeV)

(4)  
 $\Rightarrow Q = \frac{p_{x'}^2}{2m_{x'}} + \frac{p_\alpha^2}{2m_\alpha} \stackrel{(3)}{=} \frac{p_\alpha^2}{2m_\alpha} \left(1 + \frac{m_\alpha}{m_{x'}}\right) = T_\alpha \left(1 + \frac{m_\alpha}{m_{x'}}\right)$

$\Rightarrow T_\alpha = \frac{Q}{\left(1 + \frac{m_\alpha}{m_{x'}}\right)}$

ca 2% av  $Q$  är den sk rekylen,  
hörande till restkärnan  $X'$ .

Varför försummas ej rekylen?

2% av  $Q \sim 5 \text{ MeV}$  är ca 100 keV,  
vilket inte är försumbart ur ett atomärt  
perspektiv.

Vad man mäter är  $\alpha$ -partiklarnas halveringstid.

ex.  $^{232}\text{Th}$  ,  $Q = 4,08 \text{ MeV}$  ,  $T_{\frac{1}{2}} = 14 \cdot 10^9 \text{ y}$

$^{218}\text{Th}$  ,  $Q = 9,85 \text{ MeV}$  ,  $T_{\frac{1}{2}} = 10^{-7} \text{ s}$

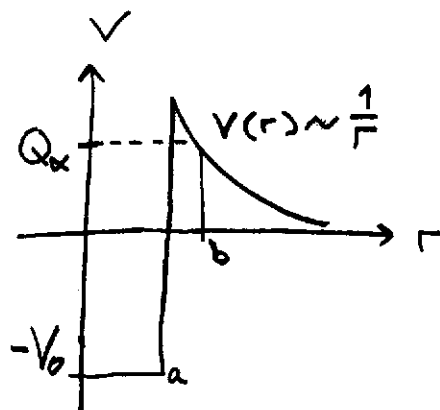
en faktor två i  $Q$  värdet ger en faktor  
 $10^{24}$  för halveringstiden. Hm...

empirisk relation

$$\log T_{\frac{1}{2}} = C - DQ_{\alpha}^{-\frac{1}{2}}$$

(fig. 8.1, sid 249)

modell



en tidigare (när?)  
bildad  $\alpha$ -partikel  
från i en sfäriskt  
symmetrisk  
potential

(i)  $r < a$  ,  $V = -V_0$

$T_{\alpha} = V_0 + Q_{\alpha}$  , kinetiska energin

(ii)  $a < r < b$  ,

(iii)  $r > b$ 

fri med kinetiska energin  $T$  minus  
rekylen.

---

(ii) teckna sönderfallskonstanten  $\lambda$  såsom

$\lambda = fP$ , där  $f$  är antal försök per sekund,  
 $P$  "penetrabiliteten", sannolikhet per försök.

(a) uppskatta  $f$ ,med  $V_0 = 35$  MeV &  $Q = 5$  MeVär  $T = \frac{1}{2} M v^2 = 40$  MeV,

$$\frac{1}{2} M_{\alpha} v^2 = \frac{1}{2} M_{\alpha} c^2 (v/c)^2 = 40$$

 $M_{\alpha} \sim 4 \cdot 10^3$  MeV/c<sup>2</sup> (egentligen 4.931,50 MeV)

$$\Rightarrow \left(\frac{v}{c}\right)^2 \sim \frac{4}{200} = \frac{1}{50} \sim \frac{1}{7^2}$$

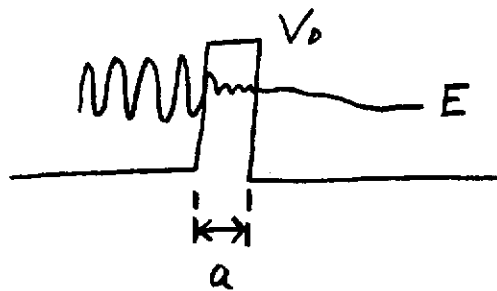
$$\Rightarrow v \sim \frac{1}{7} c = \underline{\underline{0,14 c}}, \quad \text{med } R = R_0 \sqrt[3]{A} \\ = 1,20 \cdot \sqrt[3]{200} = 7,0 \text{ fm}$$

ger  $f = (v/2r)$ 

$$= \frac{1}{2} \cdot \frac{c}{7 \cdot 7} \cdot 10^{15} = \underline{\underline{3 \cdot 10^{21} \text{ s}^{-1}}}$$

(b) uppskatta  $P$ ,

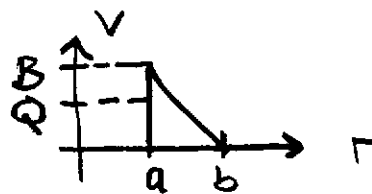
tunnlingsfenomenet à la kvant



med  $T = \frac{1}{1 + \frac{1}{4} \frac{V_0^2}{E(V_0 - E)} \sinh^2 k_2 a}$  transmissionskoefficienten

$$k_2^2 = \frac{2m}{\hbar^2} (V_0 - E)$$

Approximera coulombbarriären med en "sågtand"

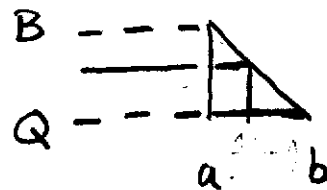


$$\frac{z e}{Z' e} \frac{x}{x'}$$

$$B = \frac{1}{4\pi\epsilon_0} \cdot \frac{z z' e^2}{a}$$

medelhöjd  $\frac{1}{2} (B - Q)$

medelbredd  $\frac{1}{2} (b - a)$



ger ett  $k_2$

$$k_2^2 = \frac{2m}{\hbar^2} \cdot \frac{1}{2} (B - Q)$$

värde på radien  $b$  då  $\alpha$ -partikeln lämnar kärnan ( $B = Q$ )

$$b = \frac{1}{4\pi\epsilon_0} \cdot \frac{z z' e^2}{Q}$$

$$\text{ex. } z' = 90; a = 7.5 \text{ fm}$$

SID 35.

$$\Rightarrow B = 1.44 \cdot \frac{z \cdot 90}{7.5} = 34.6 \text{ MeV}; Q \sim 6 \text{ MeV}$$

$$\Rightarrow k_2 \approx \sqrt{\frac{2m}{\hbar^2} \cdot \frac{1}{2}(B-Q)} \approx 1.7 \text{ fm}^{-1}$$

$$(m = 4 \cdot 10^{-3} \text{ MeV}/c^2; \hbar c = 197.3 \text{ MeVfm})$$

$$b = \frac{e^2}{4\pi\epsilon_0} \cdot \frac{zZ'}{Q} = \underline{\underline{43 \text{ fm}}}$$

$$\Rightarrow k_2 \cdot \frac{1}{2}(b-a) = 30$$

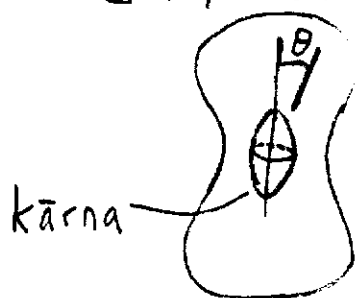
$$\sinh x = \frac{1}{2}(e^x - e^{-x}) \approx \frac{1}{2}e^x \quad \text{då } x \text{ stort}$$

$$\Rightarrow \underline{\underline{P \approx e^{-2k_2 \cdot \frac{1}{2}(b-a)}}}}$$

Trots de rätt grova approximationerna fås en acceptabel bild av  $\alpha$ -sönderfall, rätt storleksordning på förväntade sannolikheter samt hur dessa förändras för ändringar i  $Q$ -värdet.

För en deformerad kärna får sannolikheten  $P$  ett rumsberoende.

ex. ellipsoidformig kärna



Intensitetsfördelning, då coulumbbarriären går som  $\frac{1}{r}$  är den lägre för exempelvis  $\theta = 0$ .

# $\beta$ sönderfall

SID 36.

$\alpha$  sönderfall är ett exempel på stark växelverkan.

$\beta$  sönderfall styrs av den svaga växelverkan.

fungerar enligt

$$Z \mapsto Z \pm 1$$

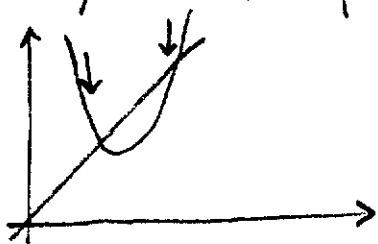
$$N \mapsto N \mp 1$$

$$A = Z + N \text{ konstant}$$

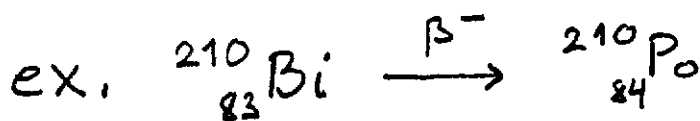
samt elektroninfångning.

emission av  $\beta$ -partiklar, elektronen ( $e^-$ ) eller positronen ( $e^+$ ),

under  $\beta$  sönderfall "glider" instabila isotoper nedför massparabeln,



protonrik kärna ger  
 $\beta^+$  ( $p \rightarrow n + e^+$ )  
neutronrik kärna ger  
 $\beta^-$  ( $n \rightarrow p + e^-$ )



ger en masskillnad  $\Delta M = 1,16 \text{ MeV}$ ,  
som borde ge upphov till en utsänd  
elektron med en kinetisk energi av  
 $1,16 \text{ MeV}$

Dock uppmättes en kontinuerlig fördelning av utsända elektroner, fig. 9.1 sid. 273

Någonting fattades, och Wolfgang

Pauli föreslog 1931 att ytterligare en partikel sändes ut under sönderfallet som svarade mot skillnaden i energi.

Den eftersökta partikeln var neutrino, som inte bromsar för något, och därför är svår detekterbar.

$\beta$  sönderfall för en fri neutron



Q värde liksom för  $\alpha$ -sönderfall

$$Q = [m_n - m_p - m_e - m_\nu] c^2$$

antag att neutrino är masslös.

vid vila innan sönderfallet

$$\Rightarrow Q = T_p + T_e + T_\nu$$

försumma rekylen  $T_p \sim 0,3 \text{ keV}$ , ger

$$Q_\beta|_{\max} = 0,782 \pm 0,013 \text{ MeV}$$

(i)  $\beta^-$ 

$$\begin{aligned}
 \underline{Q_{\beta^-}} &= [m_N({}_Z^A X) - m_N({}_{Z-1}^A X) - m_e] c^2 \\
 &\quad \{ \text{nukleära massan ur } M(A,Z) = m_N({}_Z^A X) + Zm_e \} \\
 &= [(M(A,Z) - \cancel{Z}m_e) \\
 &\quad - (M(A,Z+1) - \cancel{(Z+1)}m_e) - \cancel{m_e}] c^2 \\
 &= \underline{\underline{[M(A,Z) - M(A,Z+1)]}} \quad , \text{ p s s}
 \end{aligned}$$

(ii)  $\beta^+$ 

$$\begin{aligned}
 Q_{\beta^+} &= [(M(A,Z) - \cancel{Z}m_e) \\
 &\quad - (M(A,Z-1) - \cancel{(Z-1)}m_e) - m_e] c^2 \\
 &= \underline{\underline{[M(A,Z) - M(A,Z-1) - 2m_e]}}
 \end{aligned}$$

 $Q_{\beta^+} > 0$  för  $\beta^+$  sönderfall

$\Rightarrow$  atomära masskillnaden måste vara större än  $2 \cdot 0,511 = 1,022 \text{ MeV}$

"Det här är väldigt likt ett gammalt tentatal..."

en viskande fågel

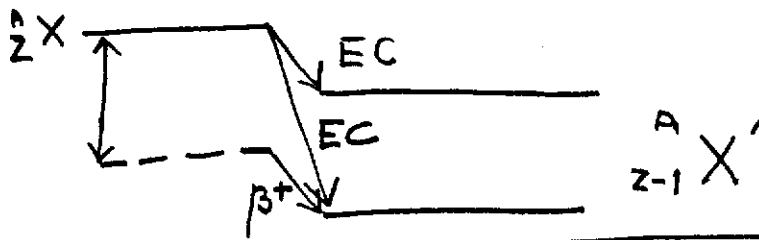
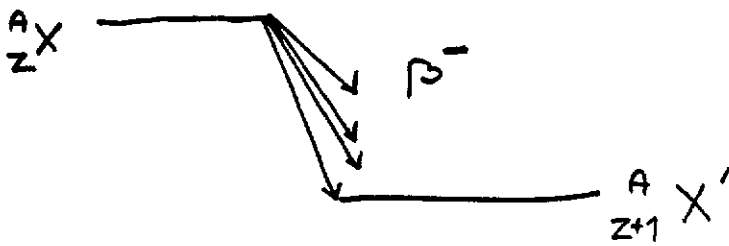
(iii) Elektroninfångning (Electron Capture)

$$\begin{aligned}
 Q_{EC} &= [(M(A,Z) - Zm_e) \\
 &\quad \xrightarrow{\text{infångad}} + m_e - (M(A,Z-1) - (Z-1)m_e)] c^2 \\
 &= [M(A,Z) - M(A,Z-1)]
 \end{aligned}$$

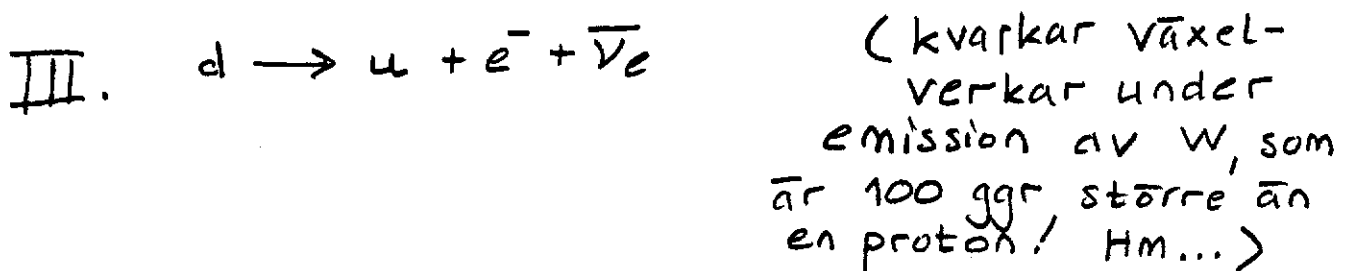
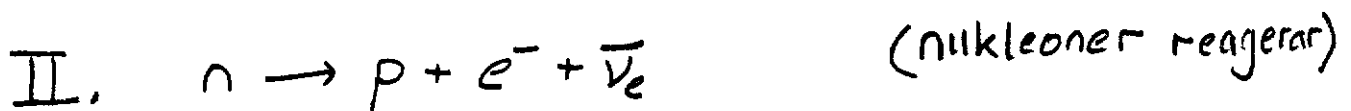
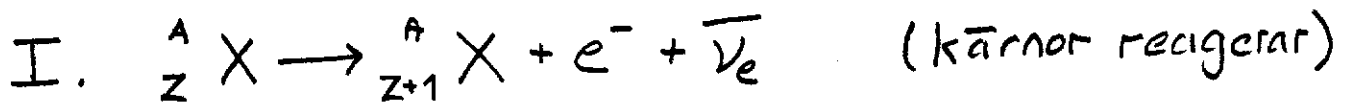
möjlig även för  $Q < 1,022 \text{ MeV}$



# förklarande figur



## kronologisk översikt av $\beta$ sönderfallsmodeller



## Fermis gyllene regel

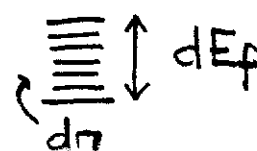
sönderfallskonstanten  $\lambda$  ges av

$$\lambda = \frac{2\pi}{\hbar} |V_{fi}|^2 \rho(E),$$

där  $V_{fi} = \int \psi_f^* V \psi_i dV$ ,  $\psi_f$  &  $\psi_i$  vågfktnerna för slut- starttillstånd respektive

$\rho(E)$  tillståndstätheten,

$$\rho(E) = \frac{dn}{dE}$$



inkludera vågfktnerna för elektronen och neutron,

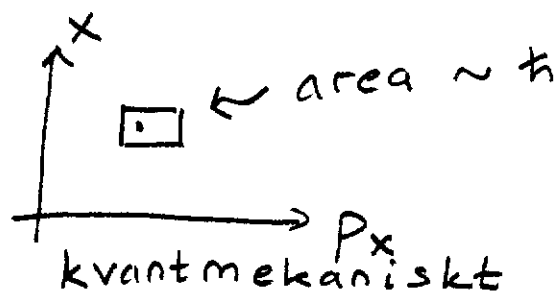
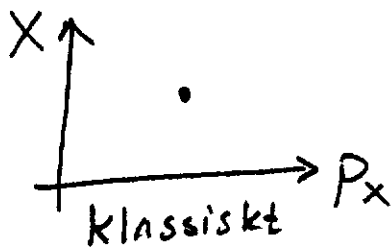
$$\varphi_e^* \text{ \& } \varphi_n^*$$

$$\Rightarrow V_{fi} = g \int [\varphi_f^* \varphi_e^* \varphi_n^*] O \varphi_i dv$$

$g$  konstant som anger växelverkans styrka,

$O$  operator, ointressant

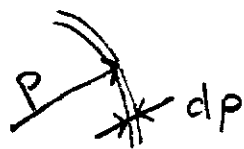
Hur många tillstånd i sluttillståndet?  
över till fasrummet



$$\Delta x \Delta p_x \sim \hbar$$

$$3D \Rightarrow \Delta x \Delta y \Delta z \Delta p_x \Delta p_y \Delta p_z \sim h^3, \Delta x \Delta y \Delta z = V$$

$$\text{med } p^2 = p_x^2 + p_y^2 + p_z^2$$



fas

med rörelsemängd mellan  $p$  &  $p+dp$  som

$$4\pi p^2 dp \text{ (volymen av skalet)}$$

en elektron per volym  $V$  ← ?

$$\Rightarrow dn_e = \frac{4\pi p^2 dp V}{h^3}, \text{ \& } p \text{ s s } dn_\nu = \frac{4\pi q^2 dq V}{h^3}$$

där  $q = \pi$  (antalsmoment) rörelsemängd

$$\Rightarrow dn = dn_e dn_\nu$$

$$= \left( \frac{4\pi V}{h^3} \right)^2 p^2 dp q^2 dq$$

vågfunktionserna  $\varphi_e$  &  $\varphi_\nu$  (fria)

$$\begin{cases} \varphi_e(\mathbf{r}) = \frac{1}{\sqrt{V}} e^{-i\frac{\mathbf{p}\cdot\mathbf{r}}{\hbar}} \\ \varphi_\nu(\mathbf{r}) = \frac{1}{\sqrt{V}} e^{-i\frac{\mathbf{q}\cdot\mathbf{r}}{\hbar}} \end{cases}$$

för  $T_e = 1 \text{ MeV}$  är  $(p/\hbar) = 0,007 \text{ fm}^{-1}$ ,  
och i  $V$  (kärnans volym) blir  $pr \ll 1$

Det är därför rimligt att approximeras  
 $\varphi_e$  &  $\varphi_\nu$  med 1 ( $e^{-i(\mathbf{p}\cdot\mathbf{r})/\hbar} \approx 1 - i(\mathbf{p}\cdot\mathbf{r})/\hbar \approx 1$ )

Ger  $\left( \frac{dn}{dE_f} = \rho(E) \right)$

$$d\lambda = \frac{2\pi}{\hbar} \cdot g^2 |M_{fi}|^2 (4\pi)^2 \cdot \frac{p^2 dp q^2}{h^6} \cdot \frac{dq}{dE_f}, \text{ där}$$

$$M_{fi} = \int \psi_f^* \hat{O} \psi_i dv$$

↑  
ignorera

$p$ -oberoende

$$E_f = E_e + E_\nu = E_e + qc, \text{ vilket ger}$$

$$\frac{dq}{dE_f} = \frac{1}{c}$$

inför  $K = \frac{2\pi}{\hbar} g^2 |M_{fi}|^2 (4\pi)^2$ , ger

$$d\lambda = \frac{K \cdot p^2 q^2 dp}{h^6 c}$$

$$Q = T_e + qc \text{ (försumma rekylen } T_p)$$

$$\Rightarrow q = \frac{1}{c}(Q - T_e) \quad \text{GER}$$

$$dN \sim K_1 p^2 q^2 dp$$

$$= \underline{\underline{K p^2 (Q - T_e)^2 dp}}$$

Fö 6, 940421

Fermis (andra) gyllene regel

$$\lambda \sim \frac{2\pi}{\hbar} |V_{fi}|^2 \rho(E_f)$$

fungerar för alla typer av sönderfall

övergångsmatriselementet  $|V_{fi}|^2$ ,  
innehållandes planvågorna

$$\psi_i, \psi_f^* \varphi_e^* \varphi_\nu^*$$

med approximationen  $\varphi_e^* \approx 1, \varphi_\nu^* \approx 1$

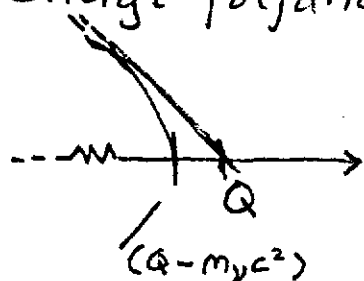
och i  $\beta$ -sönderfallet kan  $Q$  värdet fås

$$Q - T_e \propto \frac{N(p)}{p^2 F(Z, p)}$$

se fig. 9.4, sid. 283

Är neutrino likt fotonen masslös?

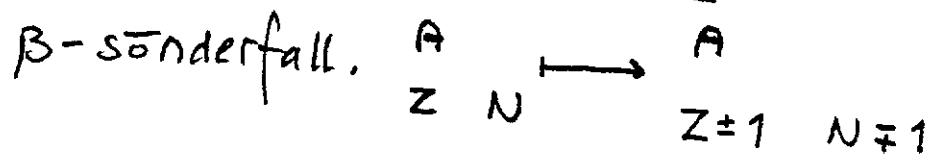
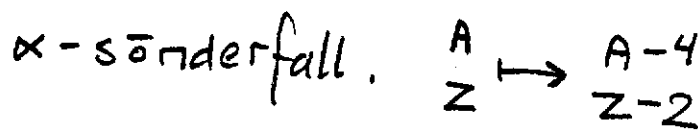
Om så inte är fallet kommer grafen i fig. 9.4 vid hög upplösning vid närheten av  $Q$  se ut enligt följande,



Senaste rön ger  $m_\nu c^2 < 7,2$  eV, vilket är mycket svårsmätbart då  $Q$  är av storleksordningen keV.

Fermis gyllene regel gäller under antagandena att spinnet är noll & att pariteten är oförändrad

Alltså,



Vad sker härnäst?

$\gamma$ -sönderfall

- (i) exciterad kärna, mindre bunden
- (ii) återgår till grundtillst. samtidigt som energi emitteras i form av  $\gamma$ -strålning, dvs högenergetisk elektromagnetisk strålning

Kvantteori för sönderfall.

$$a \text{ ————— } E_a$$

$$\text{————— } 0$$

← Givet system

samt tidsberoende potentialen

$$V(t) = V + V', \text{ där } V \text{ är konstant \& } V' \text{ är en störning}$$

in i Schrödinger som ger  $\Psi_a(r)$ .

med  $i\hbar \frac{\partial \Psi}{\partial t} = E\Psi$  fås

$$\Psi_a(r,t) = \Psi_a(r) e^{-i(E_a/\hbar)t}$$

sannolikheten att systemet beskrivs av

$$\Psi_a \text{ är ju } |\Psi_a|^2, \text{ alltså}$$

$$|\Psi_a|^2 = |\Psi_a^* \Psi_a|^2 = |\Psi_a(r)|^2 \text{ konstant utan tidsberoende}$$

∴ Här faller inte mycket sönder

Förändra energiuttrycket (totala?)

$$E = E_a - \frac{1}{2}i\Gamma, \quad \text{ger}$$

$$\begin{aligned} \Psi_a(\sigma, t) &= \Psi_a(\sigma) e^{-i[E_a - \frac{1}{2}i\Gamma]/\hbar} t \\ &= \Psi_a(\sigma) e^{-\frac{1}{2}(\Gamma/\hbar)t} \cdot e^{-i(E_a/\hbar)t} \end{aligned}$$

ger p s s

$$\underline{|\Psi_a|^2} = |\Psi_a(\sigma)|^2 e^{-(\Gamma/\hbar)t}, \quad \text{jfr } N = N_0 e^{-\lambda t}$$

ekvationen beskriver nu ett tidsberoende exponentiellt sönderfall.

utveckla analogin,

$$\lambda = (\Gamma/\hbar) = \frac{1}{\tau}$$

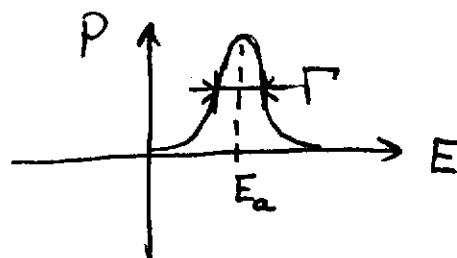
$$\Rightarrow \underline{\tau \Gamma = \hbar}$$

jfr Heisenberg

fouriertransformera  $|\Psi_a|^2$ ,

$$P(E) dE = \frac{dE}{(E - E_a)^2 + (\Gamma/2)^2}, \quad E_a \xrightarrow{\uparrow} dE \downarrow$$

ser ut,



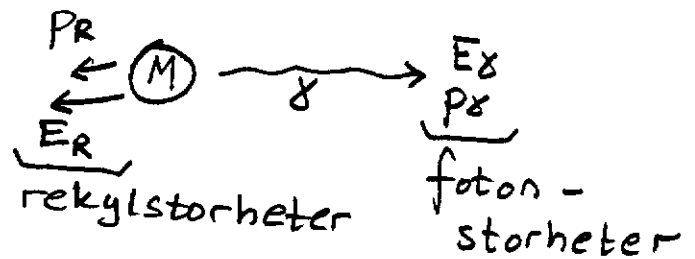
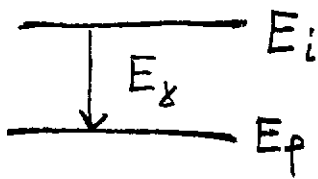
Poängen med ovan är att man med dagens mätinstrument kan mäta bredden  $\Gamma$  och på så sätt mha relationen

$$\tau \Gamma = \hbar$$

Uppskatta livslängderna för mycket kortlivade isotoper endast genom att studera energifördelningen.

Tentalätt, tentarätt ... (kap. 6.2, sid. 165 ff)

energin.



konserverad energi & impuls

$$\begin{cases} E_i = E_f + E_x + T_R \\ p_x = p_R \end{cases}$$

(initialt i vila)

$\neg$  (relativistiskt),

$$\begin{aligned} T_R &= \frac{p_R^2}{2M} = \frac{1}{2} \frac{p_x^2}{M} & E_x &= c p_x \\ &= \frac{1}{2} \frac{E_x^2}{Mc^2} \end{aligned}$$

ger med  $\Delta E = E_i - E_f$ ,

$$\underline{\Delta E = E_x + T_R = E_x + \frac{1}{2} \frac{E_x^2}{Mc^2}}$$



lös ut  $E_x$ ,

$$E_x = Mc^2 \left[ -1 \pm \sqrt{1 + 2(\Delta E/Mc^2)} \right] \quad \Delta E \ll Mc^2$$

$$\begin{aligned} \text{Taylor} &\approx Mc^2 \left[ -1 + 1 + \frac{\Delta E}{Mc^2} - \frac{1}{8} \left( \frac{2\Delta E}{Mc^2} \right)^2 \right] \\ &= \underline{\underline{\Delta E - \frac{1}{2} \frac{(\Delta E)^2}{Mc^2}}} \end{aligned}$$

$$\text{ex. } A = 100, \Delta E = 100 \text{ keV}$$

$$\Rightarrow \frac{1}{2} \frac{(\Delta E)^2}{Mc^2} \approx \frac{1}{2} \cdot \frac{\left(\frac{1}{10}\right)^2 \text{ MeV}}{100 \cdot 10^3} = \underline{\underline{50 \cdot 10^{-9}}}$$

i storleks-  
ordningen av  
naturliga linje-  
bredden

$\therefore$  rekylerna är försvinnande små & kan försummas till skillnad från den tvåprocentiga rekylen vid  $\alpha$ -sönderfall.

fotonen har sin masslöshet till trots egenspinnet 1 och kan föra med sig impuls från kärnan vid  $\alpha$ -sönderfall.

paritetsändring för multipolfält av ordning  $L$ ,  
magnetisk övergång  $\pi(ML) = (-1)^{L+1}$ ,  
elektrisk övergång  $\pi(EL) = (-1)^L$

udda/jämn resonans,

$\int \psi_f^* \underset{\text{operator}}{O} \psi_i dV$ , paritet för start- & slut-  
tillstånd samt för operatoren  $O$   
ger urvalsregler

ex.  $\pi_i \cdot \pi_f = +$

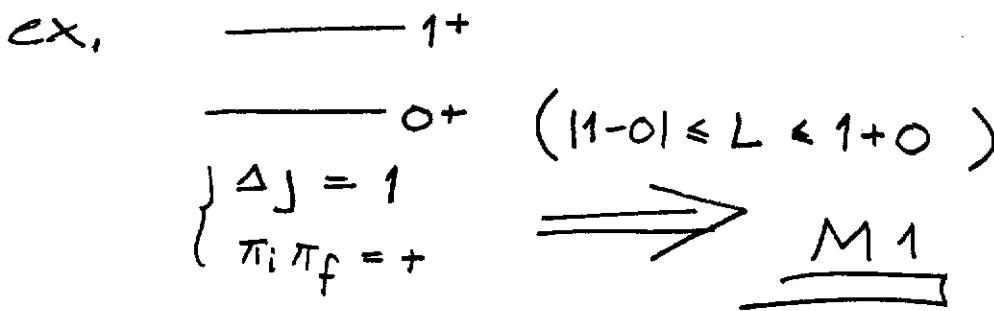
$\Rightarrow \pi_0 = +$ , annars blir det inget kvar alls

$\left\{ \begin{array}{l} \cancel{E0}, E2, \dots \\ M1, M3, \dots \end{array} \right.$

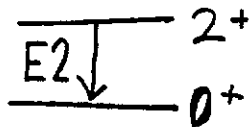
tillåtna, dock ej E0 eftersom en foton bär egenspinnet 1 ( $0^\pi \rightarrow 0^\pi$  kan ju ej frambringa en foton)

ex.  $\pi_i \cdot \pi_f = -$

$\rho \quad s \quad s \quad E1, E3, \dots$   
 $M2, M4, \dots$  tillåtna



minnesregel.

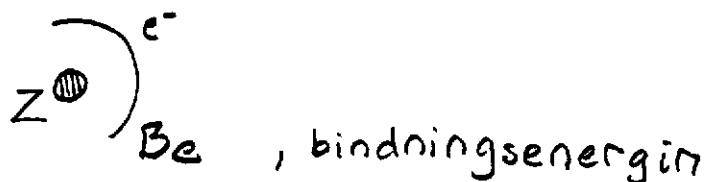
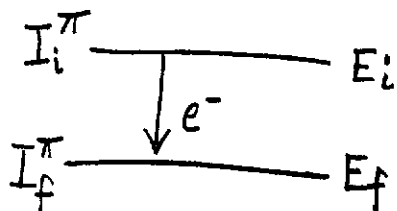


Inre konversion,

Inre konversion tillåter "0  $\rightarrow$  0" övergångarna. observerad hos t ex  $^{16}O$  (och andra dubbelmagiska kärnor)

resultatet är emission av en atomär elektron med energi

$E_e = (E_i - E_f) - B_e$



om både  $\gamma$ -~~o~~  $e^-$ -emission möjlig blir totala sönderfallskonstanten  $\lambda_t$  lika med

$$\lambda_t = \lambda_\gamma + \lambda_e = \lambda_\gamma (1 + \alpha), \quad \alpha = \frac{\lambda_e}{\lambda_\gamma} \text{ är}$$

konversions-  
koefficienten

Då  $\alpha = \alpha(E)$ , (sid. 345)

kan mätningar ge indikationer på vad som inträffar.

inre konversion är ~~ej~~ en tvåstegsprocess [ $\gamma$ -strålning emitteras av kärnan, absorberas av en elektron som lämnar sitt skal], utan en direkt växelverkan mellan kärna-elektron.

energi. ( $\gamma$ -strålnings absorption)

$$(E_\gamma = h\nu = \hbar\omega; \quad p_\gamma = (E_\gamma/c); \quad E_R = \frac{1}{2} \frac{E_\gamma^2}{m_R c^2})$$

$$E_i - E_f = E_\gamma - E_R$$

OM  $E_\gamma = 100 \text{ keV}$ ,  $m_R = 100 \mu$  blir

$$E_R = \frac{1}{2} \frac{(10^5)^2}{100 \cdot (10^{-6} \cdot 10^6)} = 0,05 \text{ eV}$$

med tidsintervall av storleksordningen ps blir naturliga linjebredden  $\Gamma$

$$\Gamma \sim m \text{ eV}$$

med en rekyt räknad i eV kommer  $\gamma$ -energi emitterad av en isotop inte kunna absorberas av samma isotop, MEN med Dopplereffekt & termiska rörelser blir den naturliga linjebredden diffus.

se fig. 10.25, sid. 364.

SID 50.

absorptions - & emissionslinjerna överlappar,  
X-strålen kan absorberas.

---

Mössbauer-effekt.

nedkyllning av materia förväntades ge  
minskad absorption då den termiska rörelsen  
minskar & överlappet minskar med detta.

I stället uppmättes ökad absorption för  
låga T.

Varum?

minskad termisk rörelse är ekvivalent med  
att gittret stelnar till och att rekylen  
dämpas av hela gitterstrukturen,

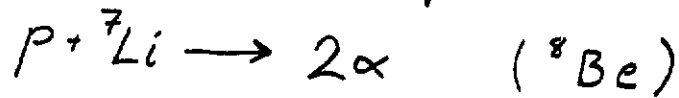
$$E_R = \frac{1}{2} \frac{E_K^2}{Mc^2}, \quad M = 10^{20} m_R \text{ gittermassa}$$

en utmärkt mätningmetod för mätning av  
mycket låga energier (sid. 366).

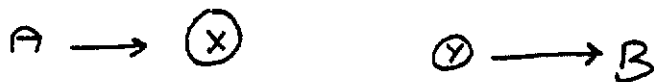
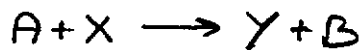
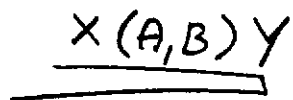
---

Kärnreaktioner

ex.



generalisering. partikel A infaller mot kärnan X, vilket ger kärnan Y och partikeln B.

 $\Leftrightarrow$  $\Leftrightarrow$ 

reaktionstyper. (i) spridning (scattering)

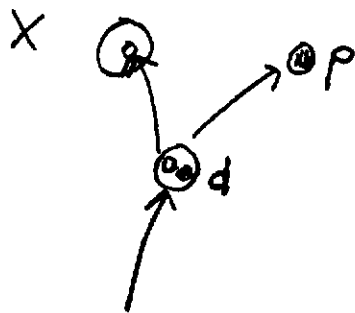
exempelvis med  $X = Y$

elastisk

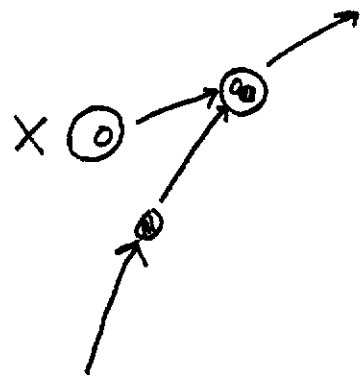
inelastisk, Y exciteras ( $Y \rightarrow Y^*$ )

(ii) direkt överföring

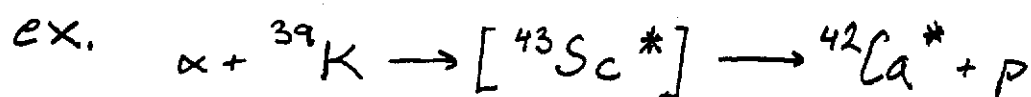
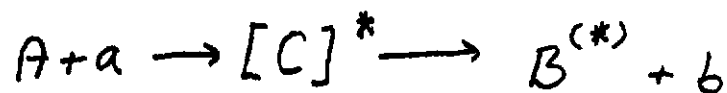
stripping.  ${}_Z^A X(d,p) {}_Z^{A+1} X$



pick up.  ${}_Z^A X(p,d) {}_Z^{A-1} X$



(iii) "compound nucleus reaction"



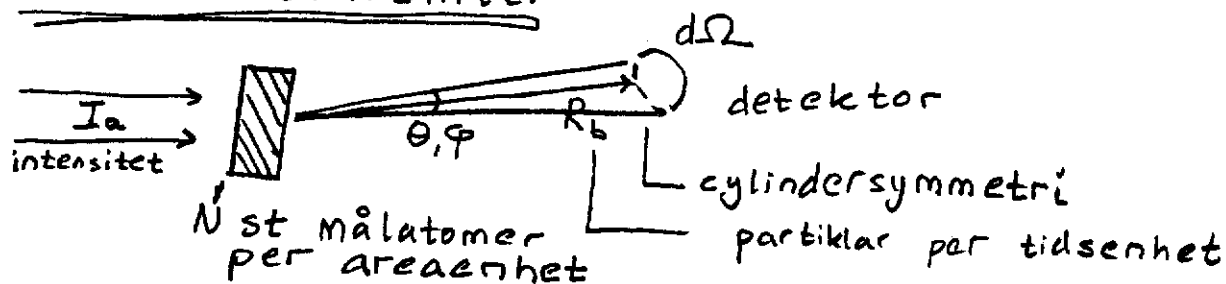
tiden för växelverkan är av storleksordningen

$$R/c = (R_0 \sqrt[3]{A}/c) \sim 10^{-22} \text{ s}$$

compound-kärnan existerar i ca  $10^{-16} \text{ s}$ , vilket betyder att den existerar  $10^{-16} \cdot \frac{1}{10^{-22}} = 10^6$  ggr längre än tiden för reaktionerna.

Detta betyder att ingående & utgående partiklar ej känner av varandra.

reaktionstvårsnitt.



tvårsnittet  $\sigma$  är

$$\sigma = \frac{R_b}{I_a N} R_b$$

sannolikhet för reaktion      totalt antal spridda partiklar



varje atomkärna omgärdas av en reaktionszon, reaktionstvårsnittet

med  $R \sim 6 \text{ fm}$  som reaktionsradie,

$$\text{är } \sigma = \pi R^2 \sim \underline{\underline{100 \text{ fm}^2}} \equiv \underline{\underline{1 \text{ barn}}} \quad (\text{en barn})$$

$$= \underline{\underline{10^{-28} \text{ m}^2}}$$

ex. neutronen har ett  $\sigma \sim \mu\text{bn}$

$\sigma$  är ett mått på reaktionsvillighet

$$\text{om } R_b = r(\theta, \varphi),$$

$$\Rightarrow dR_b = \frac{1}{4\pi} r(\theta, \varphi) d\Omega$$

$$\Rightarrow d\sigma = \frac{1}{I_a N} dR_b$$

$$\Rightarrow \underline{\underline{\frac{d\sigma}{d\Omega} = \frac{1}{4\pi I_a N} r(\theta, \varphi)}}, \text{ det differentiella tvär-} \\ \text{snittet}$$

$$\text{rymdvinkeln } d\Omega = \sin\theta d\theta d\varphi$$

$$\Rightarrow \sigma = \int \left(\frac{d\sigma}{d\Omega}\right) d\Omega = \int_0^\pi \sin\theta d\theta \int_0^{2\pi} d\varphi \left(\frac{d\sigma}{d\Omega}\right)$$

energi.

konserverad energi för  $a + X \rightarrow Y + b$

$$m_x c^2 + T_x + m_a c^2 + T_a = m_y c^2 + T_y + m_b c^2 + T_b,$$

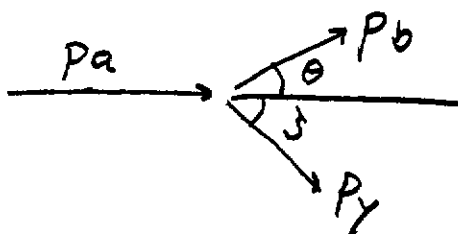
ger ett  $Q$  värde

$$\text{obs! } Q = -[m_{\text{final}} - m_{\text{initial}}]c^2 \\ = [m_x + m_a - m_y - m_b]c^2,$$

$Q > 0$ , exoterm reaktion, sker gärna

$Q < 0$ , endoterm reaktion, sker mindre gärna

impuls.



för spridning (elastisk) gäller  $Q = 0$

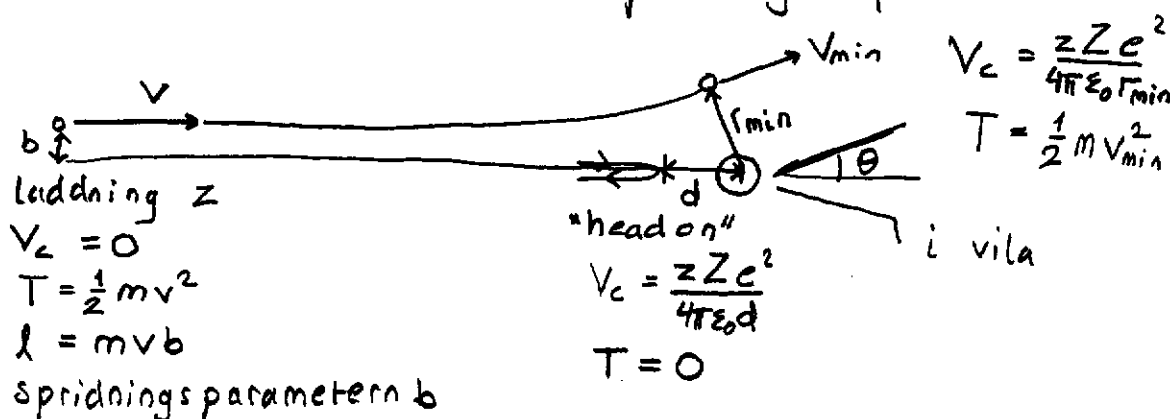
FÖ 7, 940425.

$$a + X \rightarrow Y + b \Leftrightarrow X(a, b) Y$$

är ett klassiskt betraktelse sätt.

kap. 11.6 behandlar Rutherfordtvärsnittet och bör läsas.

spridning av  $\alpha$ -partiklar från gulfolie.



för "head on"-partiklar avvek experimentet i det att en större spridning än förväntat uppmättes.

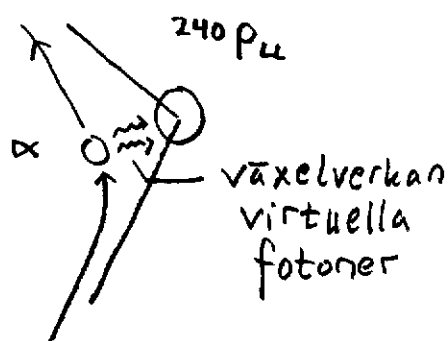
$$d\sigma \sim \sin^2 \frac{1}{2} \theta$$

$$\Rightarrow \frac{d\sigma}{d\Omega} = \left( \frac{zZe^2}{4\pi\epsilon_0} \right)^2 \left( \frac{1}{4T_a} \right) \frac{1}{\sin^4 \frac{1}{2} \theta} \sim \frac{1}{\sin^4 \frac{1}{2} \theta}, \text{ se fig. 11.10, sid. 401}$$

fig. 3.11, sid. 58, då  $\alpha$ -partikelns energi när över ett tröskelvärde tar kärnkraften över.

fig. 11.12, sid. 402

Coulombexcitation



ger ett  $\gamma$ -spektrum, som ger ämnets halveringstid. för isotoper med mycket kort halveringstid fungerar ej coulombexcitation, utan man

exciterar isotopen genom att accelerera den.



Compoundkärnor.

med en radie på fm kommer reaktionstiden att vara ca  $10^{-22}$  s.

compoundkärnan är relativt detta tidsintervall ganska långlivad & dess energi kommer att ha hunnit fördela sig i dess inre.

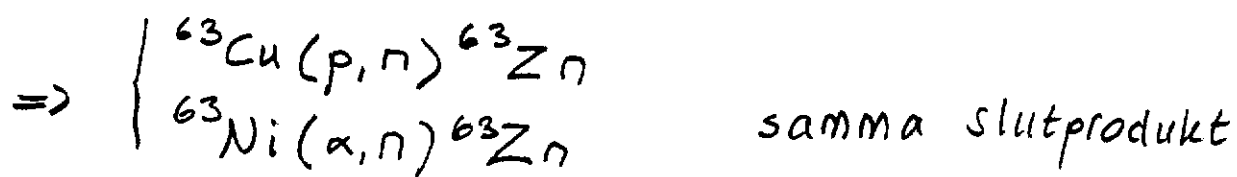
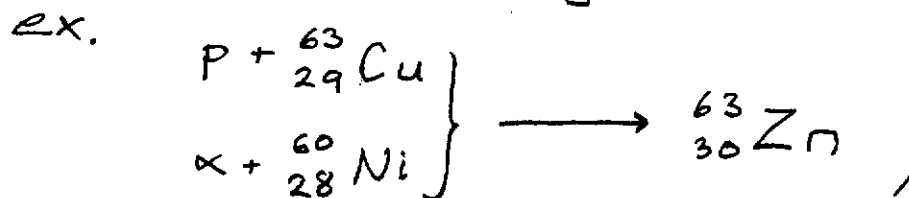


fig. 11.19, sid. 417 visar reaktions sannolikheter olika kärnor. visar ungefär samma utseende på sannolikheterna.

${}^{64}\text{Zn}^*$  är compoundkärna.

$\therefore$  compoundkärnans sönderfall oberoende av hur den bildades (?)

resonanstyper.

jättemonopolresonans. (jfr andning, täthetsvariation)

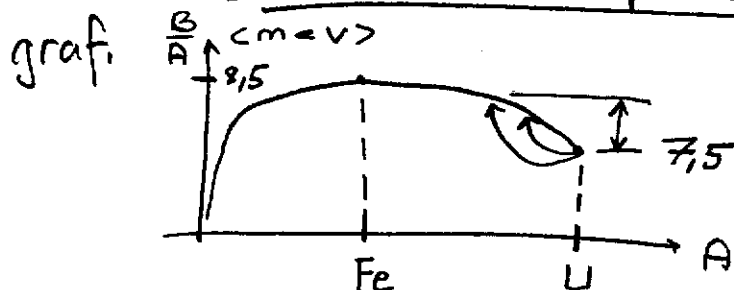


jättedipolresonans. p & n oscillerar motriktat varandra





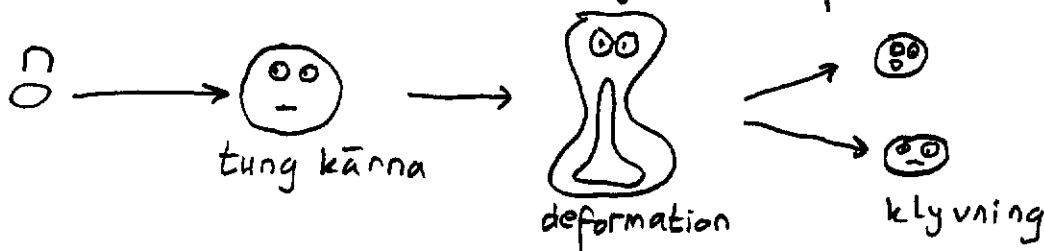
fission & fusion



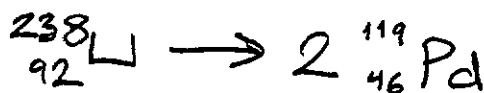
vanligaste uranisotoperna  
 $^{235}\text{U}$  &  $^{238}\text{U}$

vid fission splittras en tyngre kärna till lättare kärnor. Då de lättare kärnorna har högre bindningsenergi kommer energi att frigöras.

ex.



ex.



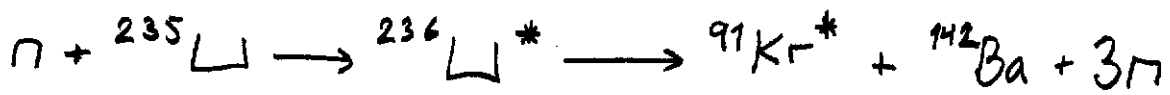
$R = R_1 = R_2, \quad R_1 + R_2 = 2 \cdot 1,25 \cdot \sqrt[3]{119} = \underline{2,61 \text{ fm}}$

$$V = \frac{46 \cdot 92 e^2}{4\pi \epsilon_0 \cdot 4 \cdot 10^{-15}} = 250 \text{ MeV} \quad ?$$

bindningsenergin,  $B(^{238}\text{U}) = -238 \cdot 7,6 = \underline{\underline{-1809 \text{ MeV}}}$

$2B(^{119}\text{Pd}) = -2 \cdot 119 \cdot 8,5 = -2023 \text{ MeV}$

→ 214 MeV frigörs.



$$\Delta M = 174 \text{ MeV}$$

excitationsenergin styr händelseförloppet.

om den ej uppnår den sk aktiveringsenergin  $E_a$  sker just ingenting.

en kärnreaktor kräver 3% av  ${}^{235}\text{U}$

Dä endast 0,007% existerar naturligt krävs en anrikningsprocess.

Varför används  ${}^{235}\text{U}$  och inte  ${}^{238}\text{U}$ ?

$$\left[ \begin{array}{l} t_{\frac{1}{2}}(235) = 7 \cdot 10^8 \text{ y} \\ t_{\frac{1}{2}}(238) = 4,5 \cdot 10^9 \text{ y} \end{array} \right]$$

${}^{235}\text{U}$ , udda isotop.

i reaktionen ovan sänds tre neutroner ut som genererar densamma.

[ kontroll av denna kedjereaktion är viktig. Då Ca har ett högt neutrontvärsnitt används det i kontrollstavarna ]

tabell.

|          | ${}^{236}\text{U}$ | ${}^{239}\text{U}$ |
|----------|--------------------|--------------------|
| $E_a$    | 6,2                | 6,6                |
| $E_{ex}$ | 6,5                | 4,8                |

${}^{239}\text{U}$  kolonnen ger att det saknas energi för en kedjereaktion.

$$E_{ex}({}^{236}\text{U}) = [M({}^{235}\text{U}) + M(n) - M({}^{236}\text{U})]c^2$$

skillnaden mellan excitationenergierna kommer från paritetstermen.

$${}^{235}\text{U}_{\text{nat}} = 0,00720 \pm 0,00001$$

$$t_{\frac{1}{2}}(235) = 7 \cdot 10^8 \text{ y} \quad ; \quad t_{\frac{1}{2}}(238) = 4,5 \cdot 10^9 \text{ y}$$

$$r(0) = \frac{N_{235}(0)}{N_{235}(0) + N_{238}(0)} \quad , \quad \text{NL}$$

Då 3 %  ${}^{235}\text{U}$  är den nödvändiga koncentrationen för en kärnreaktor kan man fråga sig om inte det någon gång i historien funnits en naturlig reaktor.

$$r(t) = \frac{N_{235}(0) e^{-\lambda_5 t}}{N_{235}(0) e^{-\lambda_5 t} + N_{238}(0) e^{-\lambda_8 t}}$$

$$r(t_3) = \frac{3}{100} \Rightarrow \dots \Rightarrow t_3 = -1,7 \cdot 10^9 \text{ y}$$

I Oklo, Gabon, finns uranfyndigheter där koncentrationen  ${}^{235}\text{U}$  är mellan 0,0044-0,00717. Det saknas  ${}^{235}\text{U}$  och man tror att en naturlig reaktor funnits där som fissionerat bort ca 5 ton  ${}^{235}\text{U}$ .


För att nå tillräckliga koncentrationer av uran för klyvning antar man att världshavens begynnande syreproduktion för ca 2 miljarder år sedan sätter en nedre gräns. Uranet löses nämligen upp ( $\text{UO}_2^{2+}$ ) och kan sedan sedimenteras.

Ca 200 MeV per fission frigörs, och för 5 ton blir det ungefär  $2 \cdot 10^{30}$  MeV, eller  $10^8$  MWh (jfr kärnreaktors  $10^3$  MWh)

Antag att vattnet ej förångas.

Då fås istället 0,01 MW under  $10^6$  y.

bevis. fig. 13.33, sid. 518.

Neodymium, Nd, en typisk fissionsprodukt.  
koncentrationerna Nd isotoper överensstämmer  
väl med en kärnreaktors 

Tentabätt, tentalätt ...

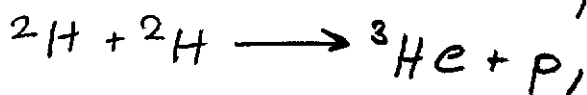
## Fusion

ihopslagning av kärnor.

DD reaktionerna.

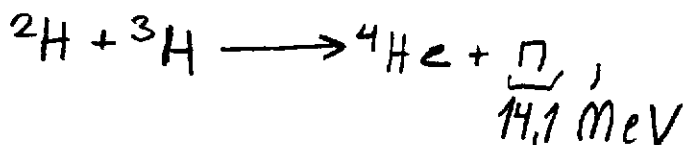


$$Q = 3,3 \text{ MeV}$$



$$Q = 4,0 \text{ MeV}$$

DT reaktion



$$Q = 17,6 \text{ MeV}$$

coulombbarriären.

$$V_c = \frac{e^2}{4\pi\epsilon_0} \frac{Z_a Z_x}{R_a + R_x}$$



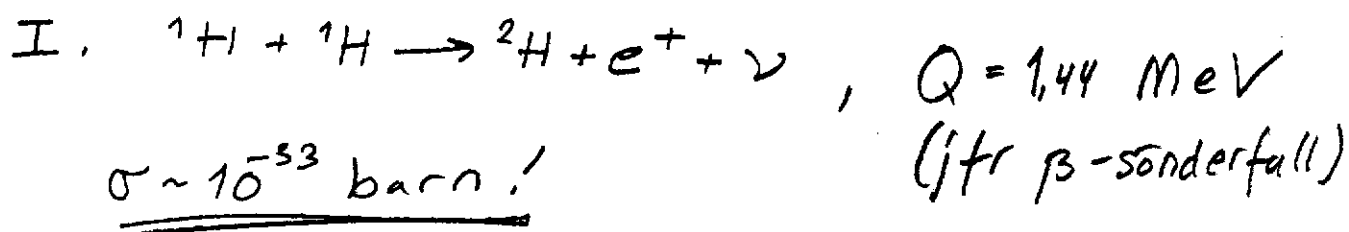
för DT,  $V_c = 1,44 \cdot \frac{1}{1,25(2^{1/3} + 3^{1/3})} = 0,43 \text{ MeV}$

ex. solens energiproduktion

allmänt. 90% av universums alla atomer är väte

1% utav resten är ej helium,

kontraktion av gasmoln, leder till ökande gravitation vilket leder till ökande kontraktion, leder till ökande temperatur som till slut ger fusion.



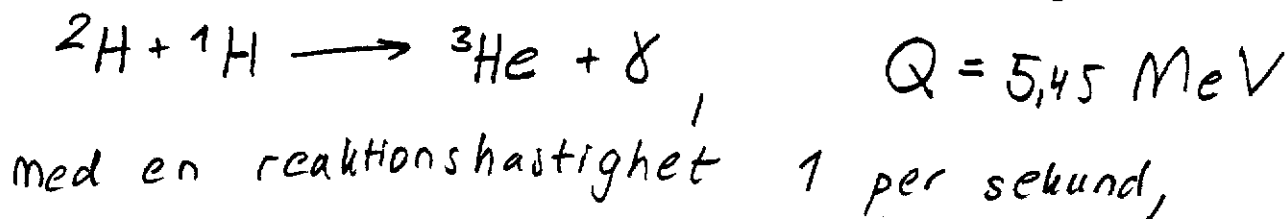
temperaturen vid solens centrum är ca  $15 \cdot 10^6 \text{ K}$  (jasa?)

ger en medelenergi  $\frac{1}{2}kT = \frac{1}{2} \cdot 86,166 \cdot 10^{-6} \cdot 15 \cdot 10^6 = 0,65 \text{ keV}$

ger reaktionshastigheten  $5 \cdot 10^{-18} \text{ s}^{-1} (\text{proton})^{-1} \text{ K}^{-1}$  ?

MEN det finns i runda tal  $10^{56}$  protoner att reagera med,

$\Rightarrow 10^{38}$  protoner/s, vilka snabbt reagerar vidare enligt

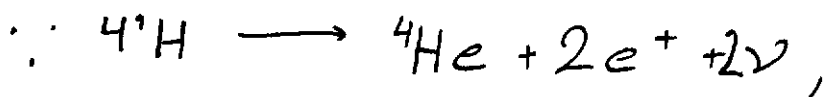


vidare  ${}^3_2\text{He} + {}^1_1\text{H} \rightarrow {}^4_2\text{He} + \gamma$ , jvktstillstånd



$$Q = 12,86 \text{ MeV}$$

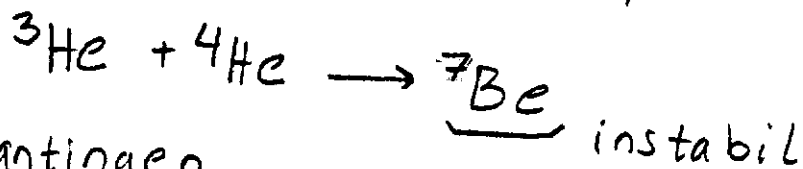
SID 61.



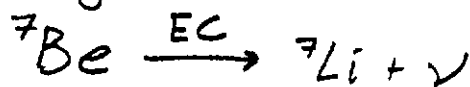
$$Q = 26,7 \text{ MeV}$$

vilket är nettoresultatet i proton-proton  
cykeln (sid. 535)

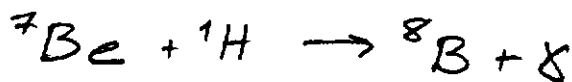
III. 9 % helium ( $\alpha$ -partiklar)



ger antingen

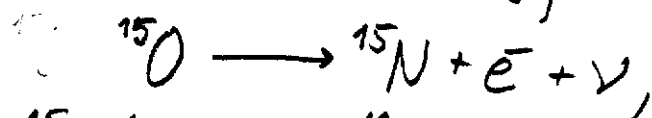
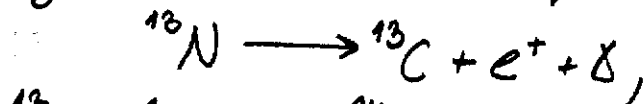
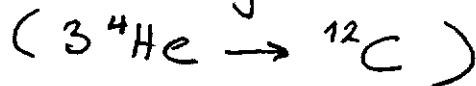


eller



vilka båda ger samma slutresultat.

CNO - cykeln.



rundgång,

$^{12}\text{C}$  kan ses som en katalysator, och nettoprocessen är ekvivalent med proton-proton cykeln.

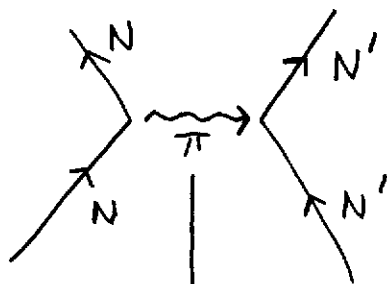
FÖ 8, 940428

Mesonfysik

Standardmodellens partikeltyper,

hadroner  $\left\{ \begin{array}{l} \text{baryoner, } \overline{qqq} \\ \text{mesoner, } \overline{q}q \end{array} \right.$ , spinn  $\frac{1}{2}, \frac{3}{2}, \dots$   
 , spinn 0, 1

Leptoner  $\left\{ \begin{array}{l} \text{elektron, } e \\ \text{neutrinos, } \nu \end{array} \right.$ , spinn  $\frac{1}{2}$   
 , spinn  $\frac{1}{2}$



pionen, utbytespartikeln som förmedlar den starka växelverkan.



kärna

kärnan omges av ett pionmoln, skapade av nukleonerna

Heisenberg,  $\Delta E \Delta t \sim \hbar$

$$\Rightarrow \Delta t = \frac{\hbar}{\Delta E}, \quad \Delta E = m_{\pi} c^2$$

$$\Rightarrow R = c \Delta t = \frac{\hbar c}{m_{\pi} c^2} \quad \left( \begin{array}{l} R \sim 1,4 \text{ fm} \\ \hbar c = 197 \text{ MeV fm} \end{array} \right)$$

$$\Rightarrow \underline{\underline{m_{\pi} \sim 140 \text{ MeV}/c^2}}$$



SID 63.

Yukawa (1935) försökte beskriva pionens potential / utbytespartikeln

krävde relativistiska dispersionsrelationen,

$$E^2 = p^2 c^2 + m^2 c^4,$$

det dög ej heller med den vanliga Schrödinger-ekvationen.

Kvantoperatörer:

$$E \longrightarrow i\hbar \frac{\partial}{\partial t}$$

$$p \longrightarrow -i\hbar \nabla$$

$$\Rightarrow \left( \nabla^2 - \frac{m^2 c^2}{\hbar^2} \right) \phi = \frac{1}{c^2} \frac{\partial^2 \phi}{\partial t^2}$$

Klein-Gordons  
ekvation

statisk lösning.  $\nabla^2 \phi - K^2 \phi = 0$ ,  $K = \frac{mc}{\hbar}$

sferiskt symmetrisk lösning.

$$\phi(r) = C \frac{1}{r} e^{-Kr}$$

dar C är  
räckvidden för den  
starka växelverkan

exponentialfaktorn ger en mycket snabbt avtagande styrka

$\pi$ -mesonen har tre skepnader,

och anti-partiklarna  $\pi^+$ ,  $\pi^0$ ,  $\pi^-$  och  $\pi^-$ ,  $\pi^0$ ,  $\pi^+$ , laddningen  $+e, 0, -e$ .

isospinn (formalism under vilken n & p ses som olika tillstånd av nukleonen)

för p.  $I_z = +\frac{1}{2}$ ,

för n.  $I_z = -\frac{1}{2}$ ,

för  $\pi$ . 3 tillstånd,  $2I(\pi) + 1 = 3$ , ger  
 $I(\pi) = 1$ , spinn

isospinn  $\left\{ \begin{array}{l} \text{för } \pi^+, I_z = +1, \\ \text{för } \pi^0, I_z = 0, \\ \text{för } \pi^-, I_z = -1 \end{array} \right.$

bestämning av  $\pi$ -mesonens massa.

$\pi^-$ .  $\pi^-$  infallande mot kärna, ser sig själv som en elektron, d v s lägger sig i en bohrbana, faller nedåt & emitterar  $\gamma$ -strålar, hamnar till slut innanför kärnradien.

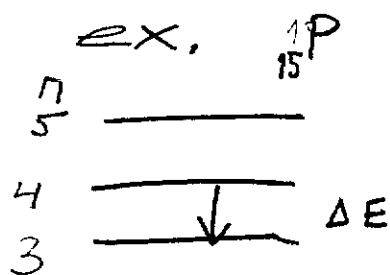
Väte modellen.

$$E_n = -13,6 \frac{Z^2}{n^2} \frac{m_{\pi^-}}{m_e},$$

$$r_n = \frac{\epsilon_0 h^2 n^2}{\pi m_{\pi^-} e^2 Z},$$

med  $m_e \sim 0,5 \text{ MeV}$  &  $m_{\pi^-} \sim 140 \text{ MeV}$

$\Rightarrow r_{\pi} \sim \frac{1}{280} r_{e^-}$  för  $n=1,2$  är  $\pi^-$  oftast redan uppslukad.



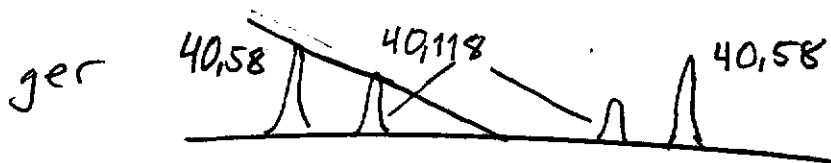
$$\Delta E = 13,6 \cdot \underbrace{10^{-3}}_{\text{keV konversion}} \cdot \frac{139}{0,511} = \underline{\underline{40,46 \text{ keV}}}$$

↑ förväntad storleksordning

Ger

$$\text{för } {}_{44}\text{Mo}, \Delta E({}_{44}\text{Mo}) = 40,58 \text{ keV}$$

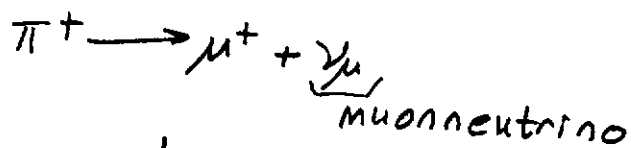
$$\text{för } {}_{62}\text{Sm}, \Delta E({}_{62}\text{Sm}) = 40,118 \text{ keV} \quad (\text{K röntgen})$$



$$\Rightarrow \underline{\underline{m_{\pi^-} c^2 = 139,5675 \pm 0,009 \text{ MeV}}}$$

 $\pi^+$ 

ej tillämpbar på  $\pi^+$ ,  
studera istället dess sönderfall,



konserverad energi.

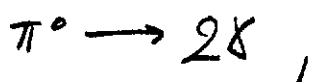
$$m_{\pi^+} c^2 = E_{\mu^+} + E_{\nu} = m_{\mu^+} c^2 + T_{\mu^+} + c p_{\mu^+} \quad \left( \begin{array}{l} p_{\nu} = p_{\mu^+} \\ E_{\nu} = c p_{\nu} \end{array} \right)$$

$$\longleftarrow p_{\nu} \quad \text{O} \quad \longrightarrow p_{\mu^+}$$

$$\Rightarrow \underline{\underline{m_{\pi^+} c^2 = 139,5658 \pm 0,0018 \text{ MeV}}}$$

se fig. 17.3, sid. 659.

$\pi^0$ , oladdad, studera återigen sönderfall



man mäter



$$\Rightarrow \underline{\underline{m_{\pi^0} c^2 = 134,9745 \text{ MeV}}}$$

$m_{\pi^0} \sim m_{\pi^{\pm}} - 5 \text{ MeV}$ , vilket beror på

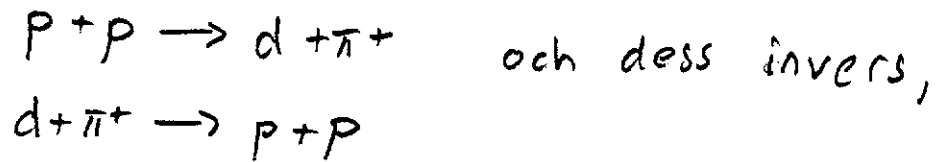
kvarkinnehållet ( $\pi^0 \leftrightarrow d\bar{u}$ )

$\downarrow \uparrow$

pionens spinn-paritet.

$$I(\pi) = 1, \text{ paritet udda}$$

reaktionen



ger

$$\frac{\sigma(pp \rightarrow d\pi^+)}{\sigma(d\pi^+ \rightarrow pp)} = \dots = \frac{3(2I_\pi + 1)}{2} \left(\frac{k_\pi}{k_p}\right)^2,$$

där faktorn  $\frac{1}{2}$  följer av Pauliprincipen för antalet  $pp$ -tillstånd och  $(k_\pi/k_p)^2$  är den kinematiska faktorn. Läs sid. 662 ff.

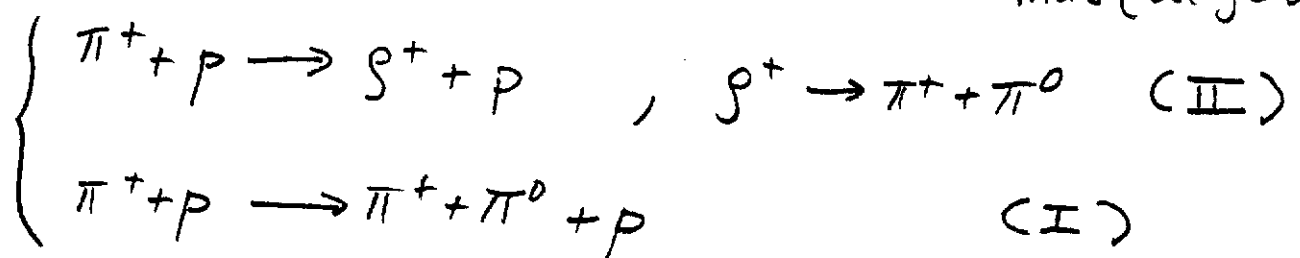
alla tyngre mesoner har en massa  $m > 2m_\pi$ , vilket gör att de kan sönderfalla till två  $\pi$ -mesoner.

ex.  $\rho$ -mesonen har en massa  $m_\rho \sim 770 \text{ MeV}/c^2$ , och en halveringstid  $t_{1/2}(\rho) \sim 10^{-23} - 10^{-10} \text{ s}$ .

den mycket korta halveringstiden mätes m.h.a. den naturliga linjebredd  $\Gamma$ , som relateras till livslängden  $\tau$  genom

$$\tau \Gamma = \hbar.$$

i en partikelaccelerator sänder protoner ut  $\pi^+$ , som i sin tur accelereras mot ett mål (target).



Går dessa skilda reaktioner att särskilja?

experiment.

$$m_S \sim 770 \text{ MeV}$$

$$\Gamma = 153 \text{ MeV}, \text{ resonansbredd}$$

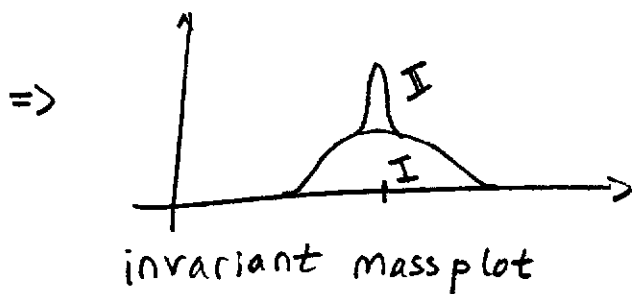
$$\tau = \frac{\hbar}{\Gamma} = \frac{6,58 \cdot 10^{-22}}{153} = 4,3 \cdot 10^{-24} \text{ s!}$$

$$\sqrt{E_S^2 - c^2 p_S^2} = m_S c^2$$

vad observeras?

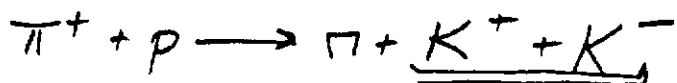
$$\begin{cases} E_S = E_{\pi^+} + E_{\pi^0} \\ |p_S| = |p_{\pi^+} + p_{\pi^0}| \end{cases}$$

$$\Rightarrow \underbrace{m_S c^2}_{\substack{\text{invariant,} \\ \text{alltid lika stor}}} = \left[ (E_{\pi^+} + E_{\pi^0}) - c^2 |p_{\pi^+} + p_{\pi^0}|^2 \right]^{1/2}$$



- I. liksom för  $\beta$ -sönderfall  
fås ett kontinuerligt  
spektrum från (I)
- II. topp från (II)

underliga sönderfall ledde till införandet av särpartiklar & säroperatorn (strange), exempelvis K mesonen.



$K^\pm$  bildas alltid i par i enlighet med att särtalet bevaras (jfr parbildning), s.k. associerad produktion

$$K^\pm. \tau = 1,24 \cdot 10^{-8} \text{ s}, m_{K^\pm} = 493 \text{ MeV}/c^2$$

den neutrala K-mesonen  $K^0$ , som till skillnad från  $\pi^0$  ej är sin egen antipartikel.

$$\underline{K^0 \not\leftrightarrow \bar{K}^0}$$

$$\begin{cases} \tau(K_S^0) = 0,85 \cdot 10^{-10} \text{ s} & (\text{Short lived}) \\ \tau(K_L^0) = 5,18 \cdot 10^{-8} \text{ s} & (\text{Long lived}) \end{cases}$$

trots  
samma massa  
497 MeV/c<sup>2</sup>

beror på  $\begin{cases} K_S \rightarrow \pi^+ + \pi^- \\ K_L \rightarrow 3\pi \end{cases}$ , vilket med fermis gyllene regel ger ett mindre faserum för  $K_S$ .

$K^+$  har särtalet  $S = +1$ ,  
 $K^-$  har särtalet  $S = -1$ ,

Stark växelverkan bevarar särhet.

Symmetrier,  
 paritetem P  
 laddningskonjugering C, antipartikel.  
 tidsoperatorn T, tiden flödar bakåt  
 (har aldrig hänt mig)

CPT konstant

CP-brott finns  $\otimes$   $K^0$  är ett exempel på detta

$$\begin{cases} K^0 \rightarrow \pi^+ \pi^- \\ \bar{K}^0 \rightarrow \pi^+ \pi^- \end{cases} \Leftrightarrow \begin{array}{c} \pi^+ \\ \text{---} \circ \text{---} \\ \pi^+ \end{array} \xrightarrow{K^0 \text{ eller } \bar{K}^0}$$

$\pi^+ + p \rightarrow K^+ + \bar{K}^0 + p$ , bildar en  $\bar{K}^0$

$$K^0, \bar{K}^0 \rightarrow 2\pi \Leftrightarrow \begin{array}{l} \pi^0 + \pi^0 \\ \pi^+ + \pi^- \end{array}$$

vågfunktioner  $\psi(\pi_a^0, \pi_b^0)$   
 $\psi(\pi_a^+, \pi_b^-)$

start operating on!

$$[\pi^0 \pi^0] \left\{ \begin{array}{l} P\psi(\pi) = -\psi(\pi) \quad , \quad \pi^\pi = - \\ C\psi(\pi^\pm) = \psi(\pi^\mp) \quad , \quad \text{antipartikel} \\ C\psi(\pi^0) = \psi(\pi^0) \end{array} \right.$$

$$\Rightarrow P\psi(\pi_a^0, \pi_b^0) = (-1)^2 \underbrace{(-1)^l}_{\text{relativa banimpulsmomentet}} \psi(\pi_a^0, \pi_b^0)$$

$$C\psi(\pi_a^0, \pi_b^0) = \dots = \psi(\pi_a^0, \pi_b^0)$$

$$\Rightarrow \underline{CP\psi(\pi_a^0, \pi_b^0) = \psi(\pi_a^0, \pi_b^0)} \quad , \quad \underline{OK}$$

$\pi^+ \pi^-$

$$P\psi(\pi_a^+, \pi_b^-) = (-1)^2 (-1)^l \psi(\pi_a^-, \pi_b^+) \quad \begin{array}{l} \text{paritetsbyte} \\ \leftrightarrow \\ \text{spegling} \end{array}$$

$$C\psi(\pi_a^+, \pi_b^-) = \psi(\pi_a^-, \pi_b^+)$$

$$\Rightarrow \underline{CP\psi(\pi_a^+, \pi_b^-) = \psi(\pi_a^+, \pi_b^-)} \quad , \quad \underline{OK}$$

MEN

$$CP\psi(K^0) = \psi(\bar{K}^0) \quad \text{och vice versa,}$$

$$\underbrace{K^0}_{\text{variant}} \xrightarrow{2\pi} \underbrace{\bar{K}^0}_{\text{invariant}} \quad \text{under } CP$$

$$\text{inför } \left\{ \begin{array}{l} \psi(K_1) = \frac{\sqrt{2}}{2} (\psi(K^0) + \psi(\bar{K}^0)) \\ \psi(K_2) = \frac{\sqrt{2}}{2} (\psi(K^0) - \psi(\bar{K}^0)) \end{array} \right.$$

$$\text{ger } \begin{array}{l} CP\psi(K_1) = \psi(K_1) \quad OK \\ CP\psi(K_2) = -\psi(K_2) \quad \text{h}\bar{a} \dots \end{array}$$

identificera  $K_1$  &  $K_2$  med  $K_S$  &  $K_L$  ,  
 $K_S \rightarrow 2\pi$  ,  $K_L \rightarrow 3\pi$

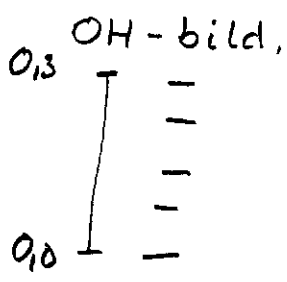
$$\Rightarrow \underline{CP\psi(K_L) = (-1)^3 \psi(K_L) = -\psi(K_L)} \quad , \quad \underline{\text{b}\ddot{a}ttre}$$

FÖ 9, 940502

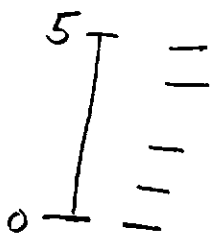
(med benäget tillstånd av Anna Lee ©)

Partikelfysik

excitationsnivåer, storleksordningar



OH-bild,  
NCO molekyl  
~ 0,1 eV



Kalciumatom  
~ eV

<sup>23</sup>Na har excitationenergier ~ MeV

protonens 1. excitationnivå vid 300 MeV, den sk Δ-resonansen.

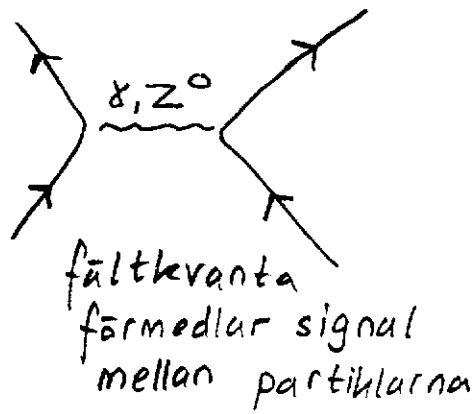
växelverkan

familjer

baskrafter { starka  
 elektromagnetiska  
 svaga (styr β-sönderfall) } elektro- } GLT  
 svaga }

Grand Unified Theory





$\delta$  typisk för elektromagnetisk  
växverkan  
 $Z^0$  typisk för svag växelverkan

den Elektromagnetiska kraften & den svaga kraften  
lika stor vid tillräckligt höga energier.

OH-bild.

fig. 8.2, sid. 250 Feynmandiagram  
(varje diagram har en matematisk formel)

figs. 8.3 - 8.5

### Bosoner.

Partiklar med heltalsspinn.

Fyra masslösa partiklar.

- ① triplett  $+1, 0, -1$
- ② singlett. 0

### Symmetrirott.

Tripletten för massa kallas  
nu för  $W^+, Z^0, W^-$   
singletten fortfarande  
masslös,  $\delta$  (samma  $\delta$ -partikel)

## Fermiteori

$$V_{fi} = g \int \psi_f^* \psi_e^* \psi_0 \psi_i dV, \quad g = 0,88 \cdot 10^{-4} \text{ MeV fm}^3$$

Dimensionslös konstant (testa själv)

$$G = g \frac{m^2 c^4}{\hbar^3 c^3} \cdot 4\sqrt{2},$$

$$\alpha = \frac{e^2}{4\pi\epsilon_0 \hbar c}$$

$$G = \frac{\sin^2 \theta_W}{\cos^2 \theta_W} = 4\pi\alpha,$$

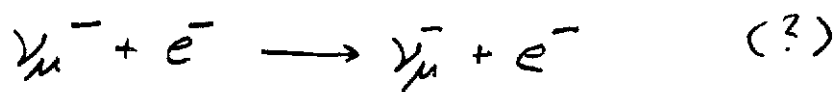
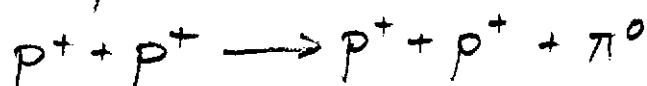
$$G = 0,399 \text{ ger}$$

$$0,399 = 0,88 \cdot 10^{-4} \cdot \frac{m^2 c^4}{197^3} \cdot 4\sqrt{2},$$

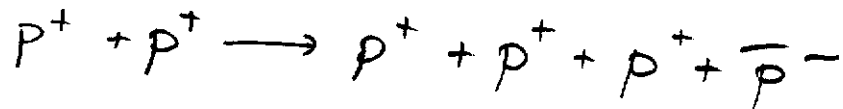
$$\underline{M_W c^2 = 78 \text{ GeV}/c^2}$$

$$\underline{M_Z c^2 = \frac{M_W c^2}{\cos \theta_W} = 89 \text{ GeV}/c^2}$$

Reaktion i bubbelkammare (OH-bild)

OH  $\pi^0$  produktion

$$E_{TH} = 2m_p c^2 + \frac{m_{\pi}^2 c^4}{2m_p c^2} \approx 288 \text{ MeV}$$

OH  $\bar{p}$  produktion

$$E_{TH} = 6 m_p c^2 = 5,64 \text{ GeV}$$

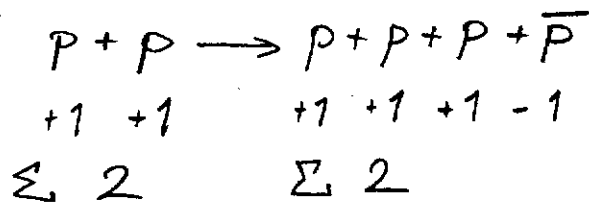

---

Baryontal.

B = +1 för partiklar,

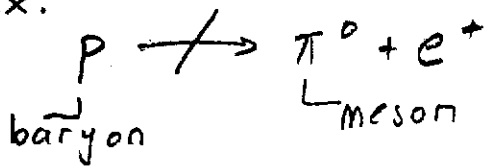
B = -1 för antipartiklar

ex.

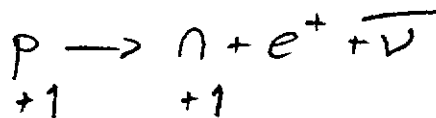


$\therefore$  Baryontalet konserverat

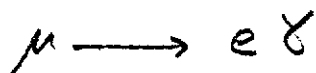
motex.



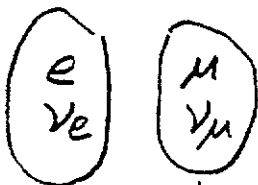
omöjlig reaktion



möjlig reaktion



omöjlig reaktion då  
 $\mu$  &  $e$  tillhör olika familjer



olika familjer

OH.

fig. 18.11, sid. 719

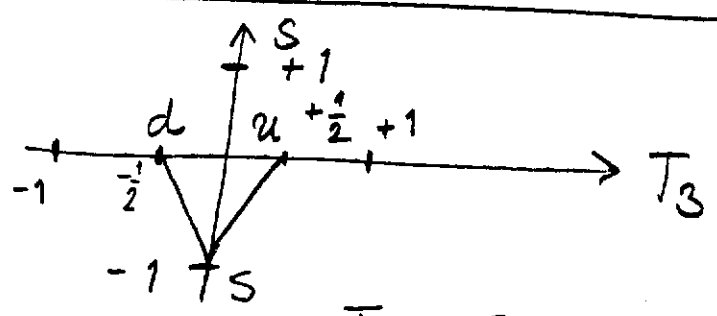
kvarkmodeller.

|   | Laddning | spinn | $T_3$ (isospinn) |
|---|----------|-------|------------------|
| u | +2/3     | +1/2  | +1/2             |
| d | -1/3     | +1/2  | -1/2             |
| s | -1/3     | +1/2  | 0                |

Mesoner.

Heltaligt spinn, består av två kvarkar.  $q\bar{q}$

|         | I  | $T_3$ | kvarksammansättning                       |
|---------|----|-------|---|
| $\pi^+$ | +1 | +1    | $u\bar{d}$                                |
| $\pi^-$ |    |       | $\bar{u}d$                                |
| $\pi^0$ |    |       | $\frac{\sqrt{2}}{2}(d\bar{d} - u\bar{u})$ |



Kombinera.

|            | $T_3$ | S  |
|------------|-------|----|
| $u\bar{u}$ | 0     | 0  |
| $u\bar{d}$ | +1    | 0  |
| $u\bar{s}$ | +1/2  | +1 |
| $A\bar{u}$ | +1/2  | +1 |
| $A\bar{s}$ | -1/2  | +1 |
| $s\bar{u}$ | -1/2  | -1 |
| $s\bar{d}$ | +1/2  | -1 |
| $s\bar{s}$ | 0     | 0  |

Kvarkens vågfunktion.

$$\Psi = \Psi_{\text{spin}} \Psi_{\text{rum}} \Psi_{\text{flavor}} \Psi_{\text{color}}$$

tre färger,  $\underline{R}$  (red)  $\underline{G}$  (green)  $\underline{B}$  (blue)

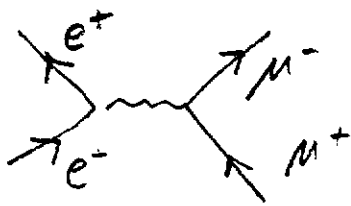
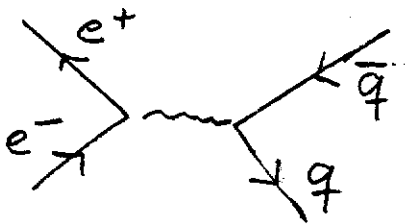
$$\Psi = \frac{\sqrt{6}}{6} (RGB + BRG + GBR - RBG - BGR - GRB)$$

byt R mot G

$$\Rightarrow \Psi' = \frac{\sqrt{6}}{6} (GRB + BGR + RBG - GBR - BRG - RGB)$$

$$= -\underline{\underline{\Psi}}$$

$$e^+ + e^- \rightarrow \gamma \rightarrow q + \bar{q}$$



$$\sigma(e^+e^- \rightarrow [\text{hadron}])$$

$$= \sum_i \sigma(e^+e^- \rightarrow q_i \bar{q}_i)$$

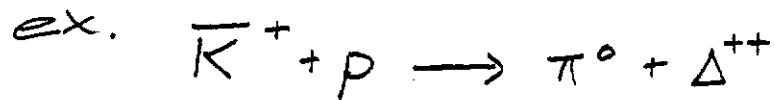
$$\frac{\sigma(e^+e^- \rightarrow [\text{hadron}])}{\sigma(e^+e^- \rightarrow \mu^+\mu^-)}$$

$$= \frac{\sum_i Q_i^2}{Q_\mu^2}$$

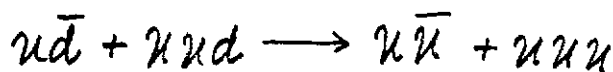
$$= \frac{(-1/3)^2 + (-1/3)^2 + (2/3)^2}{1} = \underline{\underline{\frac{2}{3}}}$$

Fö 10, 940505

reaktioner &amp; sönderfall.



kvarkmodellen ger



nettoprocessen är

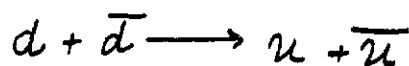
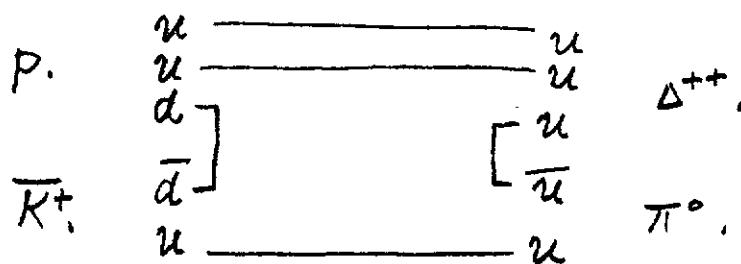


diagram.



tentalätt, tentarätt...

observera att konserveringslagarna anger vilka reaktioner som är möjliga.

---

## Nukleär astrofysik.

tabell (ofullständig).

| tid (s)                                       | temperatur (K) | energi (eV)               | anm.                                |
|---|----------------|---------------------------|-------------------------------------|
| $10^{-45}$                                    | $10^{32}$      | $10^{19} \cdot 10^9$      | kvantgravitationen dominerar        |
| $10^{-35}$                                    | $10^{27}$      | $10^{14} \cdot 10^9$      | kvarksyntes, (materiadominans (?))  |
| 100   | $10^9$         | $10^{-4} \cdot 10^9$      | kärnsyntes, He & D skapas           |
| $10^6 \cdot \underbrace{3,2 \cdot 10^7}_{1y}$ | —              | $\frac{1}{10} \cdot 10^6$ | fotoner & bakgrundsstrålning bildas |
| $10^{10} \cdot 3,2 \cdot 10^7$                | —              | —                         | galaxer i mina braxer!              |
| $10^{32} \cdot 3,2 \cdot 10^7$                | —              | —                         | fotonen sönderfaller?               |

## Hot Big Bang Cosmology.

"Det vore mig fullständigt främmande att nyttja utrikiska när det finns en adekvat inhemsk vokabulär disponibel."

Gunnar Sträng (?)

från ett otroligt energitätt tillstånd med otroligt hög temperatur sker Big Bang, en explosion. Efterföljande expansion & sjunkande temperatur.

den senare bildade materia orsakar gravitationsretardation.

gränstätheten är den täthet som krävs för att universum skall falla tillbaka i sig själv.

bevis för Big Bang?

Edwin Hubble, studerade spektrallinjer för astronomiska lysande objekt fann rödskiftet, som tolkas så att alla objekt rör sig bort från vår position, dvs universum expanderar.

vad mera, ju avlägsnare objekt desto snabbare rör det sig bortåt, hastigheten  $\sim$  avståndet

$$\underline{Hv = d}, \quad \text{där } H \text{ är Hubble-} \\ \text{konstanten, uppskattad} \\ \text{till } H = 67 \text{ km s}^{-1} (\text{Mpc})^{-1} \\ 1 \text{ pc (parsec)} \\ = 3,26 \text{ ly}$$

fig. 19.1, sid. 757.

skalnfaktorn  $R(t)$  beskriver universums expansion,

$$\underline{H = \frac{1}{R} \left( \frac{dR}{dt} \right)}$$



Då universum var strålningsdominerat

rådde energitätheten  $\rho_R$ ,

& energierna kunde uttryckas med

$$E = pc = hc \cdot \frac{1}{\lambda} \sim \frac{1}{R(t)} \quad (\text{större skalfaktor ger längre våglängder?})$$

$$\Rightarrow \rho_R = \frac{\{\text{energi}\}}{\{\text{volym}\}} \sim \frac{1}{R} \cdot \frac{1}{R^3} = CR^{-4}$$

allmän relativitet ger,

$$\frac{1}{R^2} \left( \frac{dR}{dt} \right)^2 = \frac{8\pi G}{3} \rho(t),$$

$$\Rightarrow \frac{1}{R^2} \left( \frac{dR}{dt} \right)^2 = \frac{8\pi G C}{3} R^{-4}$$

$$\Rightarrow \frac{1}{R} \left( \frac{dR}{dt} \right) = \sqrt{\frac{8\pi G C}{3}} R^{-2}$$

$$\Rightarrow \frac{1}{2} R^2 = \sqrt{\frac{8\pi G C}{3}} \cdot t$$

$$\Rightarrow t = \sqrt{\frac{3}{8\pi G \rho_R(t)}}$$

energitätheten för svartkroppsstrålning.

$$u(T) = \sigma T^4$$

$$\Rightarrow t \sim \frac{1}{T^2}$$

$$\Rightarrow T = \frac{1,5 \cdot 10^{10}}{\sqrt{t}}$$

högenergetisk strålning  $\Rightarrow$  parbildning möjlig



$$\rightarrow kT = 0,511 \quad (\text{termisk fotonenergi})$$

$$k = 86,186 \cdot 10^{-12} \text{ MeV K}^{-1}$$

$$\Rightarrow T = 6 \cdot 10^9 \text{ K}$$

motsvarande  $T \sim 6 \text{ s}$ , strålningsdominans

för  $t = 1,5 \cdot 10^{18} \text{ s} \Rightarrow T \approx 3 \text{ K}$  ( $t$  korrekt?)

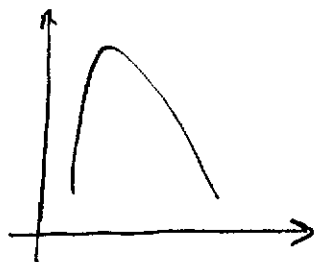
$T = 3 \text{ K}$  motsvarar en energi på  $2,6 \cdot 10^{-10} \text{ MeV}$ ,  
vilket är svårsmätbart.

men  $3 \text{ K}$  motsvarar även en våglängd  $\lambda$  på ca  $7 \text{ cm}$

Penzias & Wilson, 1964

radioastronomiska observationer stördes av  
duvor, men bruset var egentligen den  
kosmiska bakgrundsstrålningen.

fig. 19.3, sid. 760



svartkroppsspektrum,

$$T = 2,7 \pm 0,1 \text{ K}$$

De första sekunderna.

$t < 10^{-35}$  s. ingen information

(jfr plancktid  $\sim 10^{-43}$  s, en faktor  $10^7$  okänd)

Efter detta bildas partiklar - antipartiklar.

$t \sim 10^{-22}$  s,  $T = 10^{16}$  K

$\gamma + \gamma \longleftrightarrow \begin{cases} q + \bar{q} \\ l + \bar{l} \end{cases}$  sker mest hela tiden  
Leptoner

energitätheten för svartkroppsstrålning

$$u(E) dE = \frac{8\pi E^3}{(hc)^3} \frac{1}{e^{(E/kT)} - 1}$$

$$\Rightarrow n(E) dE = (u(E)/E)$$

$$\text{ger } \rho_\gamma = 4,7 \cdot 10^3 \cdot T^4 \text{ eV m}^{-3}$$

$$N_\gamma = 2,8 \cdot 10^7 T^3 \text{ m}^{-3}$$

$$\text{för } T = 2,7 \text{ } \bar{\text{a}}\text{r } N_\gamma = 400 \text{ cm}^{-3}$$

$$\left( \begin{array}{l} \text{universums gränstäthet } \rho_0 \\ \rho_0 = 3H^2 \frac{1}{8\pi G} \\ \text{ger } \rho_0 \sim 6,1 \cdot 10^{-31} \text{ g cm}^{-3} \end{array} \right)$$

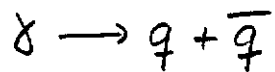
med  $m_p = 1,6 \cdot 10^{-27}$  kg färs

$$N_p = 0,4 \text{ m}^3$$

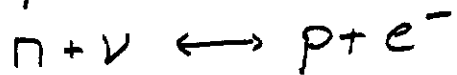
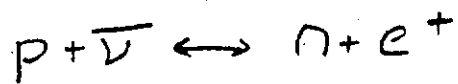
$$\Rightarrow \frac{N_\gamma}{N_p} = 10^{-9}, \quad T = 2,7 \text{ K.}$$

$$T > 2 \cdot 10^{13} \text{ K}, \quad t < 10^{-6} \text{ s}$$

universum är ett plasmabad.

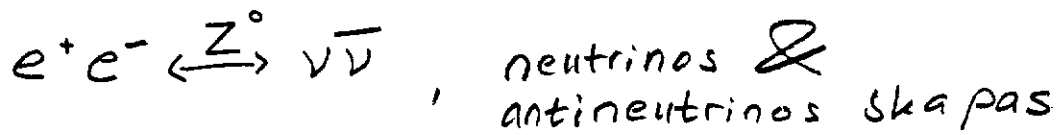


$$T \leq 10^{13} \text{ K}, \quad t > 10^{-6} \text{ s}$$



$$\frac{N_p}{N_n} = 1$$

$$t \sim 10^{-2} \text{ s}, \quad E \sim 10 \text{ MeV}$$



$$t \sim 1 \text{ s}$$

neutrinoer upphör att växelverka med nukleonerna

---

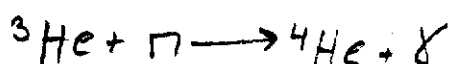
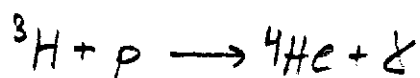
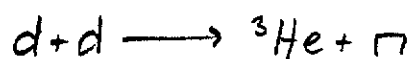
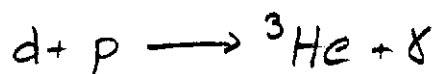
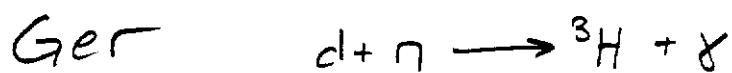
kärnsyntes tar över

viktigaste fasen i kärnsyntesen.



{ några sekunder }  $\leq t \leq$  { några minuter }

då energin går under  $E_\gamma$  kan  $^2\text{H}$  ej längre slås sönder.



STOPP

varför bildades ej alla element direkt?

inga stabila kärnor direkt ovanför ( $A=5$ )

med  $t_{1/2}(n) \sim 600 \text{ s}$  är

$$\frac{N_{\text{He}}}{N_{\text{H}}} = 0,081 \quad \text{då } t \sim \{\text{några h}\}$$

med massförhållandet  $Y_p = 0,24$

uppmätt.  $Y_p = 0,24 \pm 0,1.$

Läs om tre - neutrino modellen, sid. 766 ff

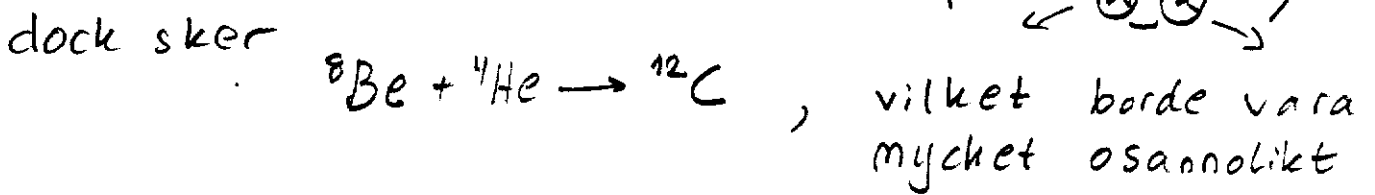
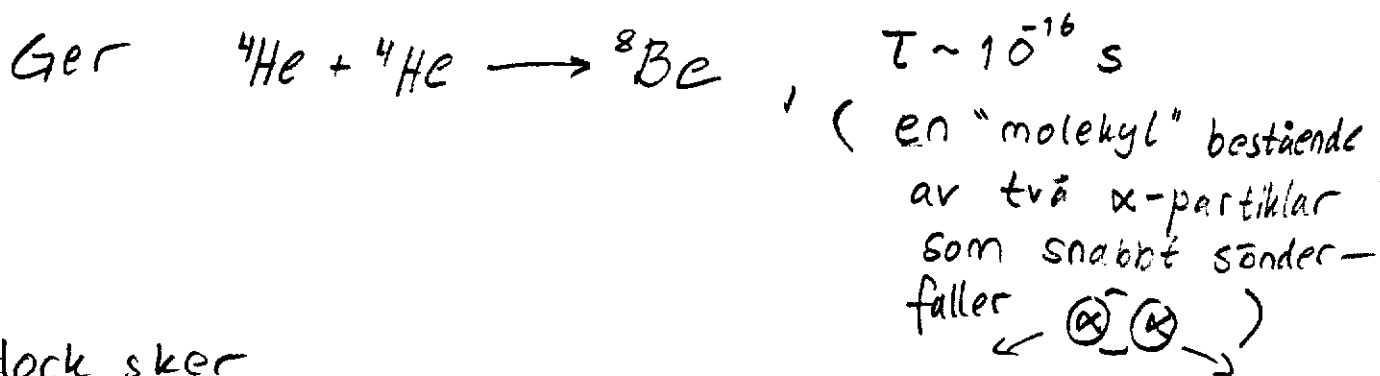
inne i solen.

(se tidigare föreläsning)

väte-heliummoln ur vilket  $\alpha$ -partiklar bildas.

strålningstrycket uppväger gravitationen.

när vätet förbrukats sker kontraktion & höjd temperatur.



det finns ett resonanstillstånd för 3  $\alpha$ -partiklar

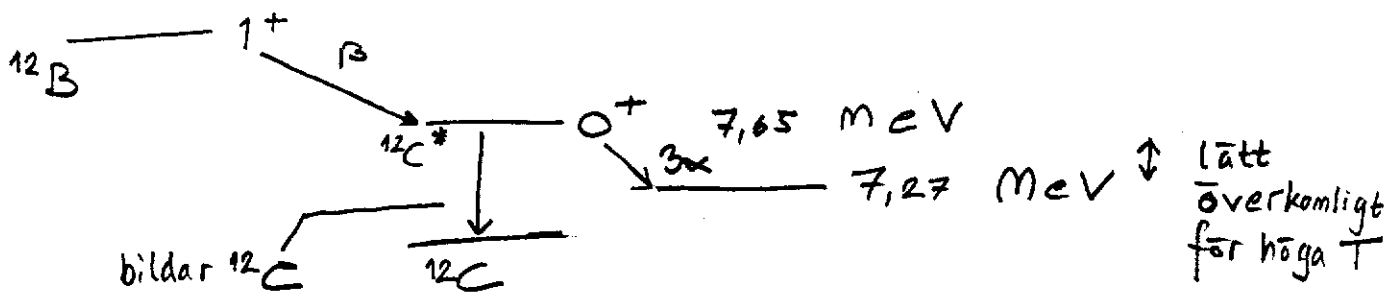
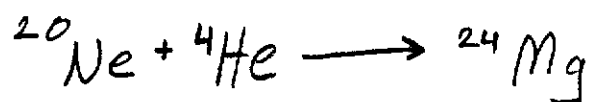
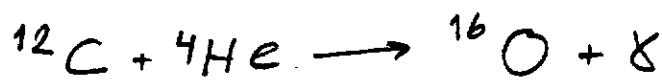


fig. 19.8, sid. 770  $3\alpha \rightarrow {}^{12}\text{C}$  icke-resonans  
 1 per  $10^{12}$  y (?)

$A=5$  hindret förbigången,

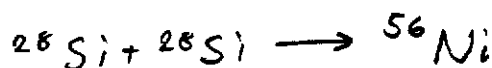
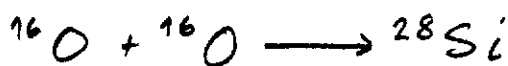
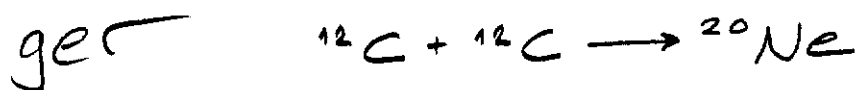
Ger



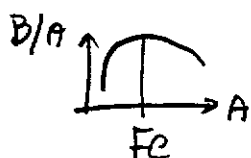
und so weiter...

$\alpha$ -partiklar går åt, och då de är slut faller stjärnan återigen in i sig själv,

till slut nås den temperatur då  $^{12}\text{C}$ 's coulombbarriär kan överbryggas,



Slutprodukterna blir  $^{56}\text{Ni}$ ,  $^{56}\text{Co}$ ,  $^{56}\text{Fe}$



$^{56}\text{Fe}$ , nukleär aska då ingen energivinst möjlig, högsta B/A.

Bränslet slut,

om stjärnans massa  $M \geq 1,4 M_{\odot}$

blir kollapsen våldsam, en neutronstjärna ( $r_n \sim 10 \text{ km}$ ) med hög densitet

(sedan supernova?)

i neutronstjärnan åter järnet neutroner,

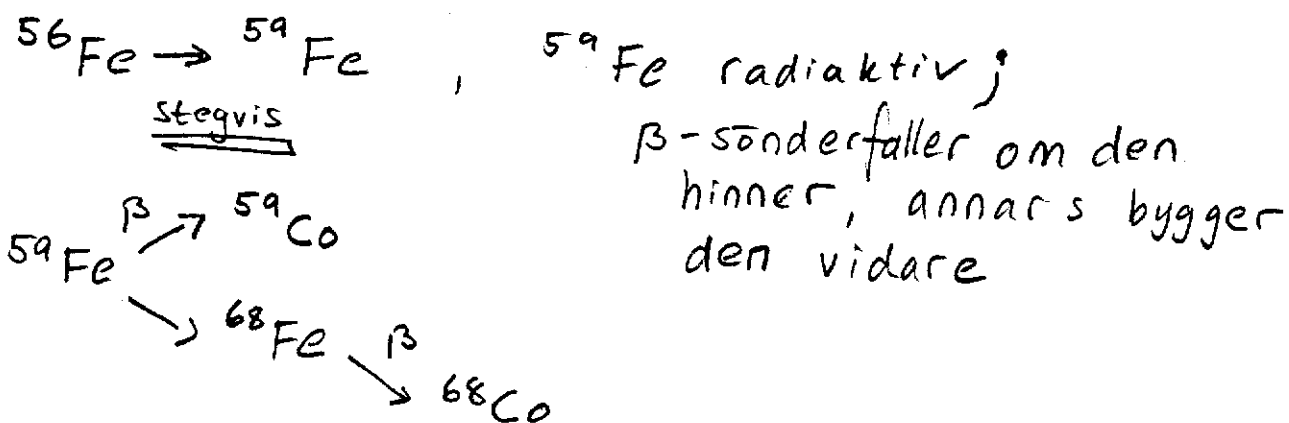
den s k  $\Gamma$ -processen ( $\beta$ -sönderfall)

(om  $M < 1,4 M_{\odot}$  bildas en röd jätte som sedan krymper till en vit dvärg (vår sol))

S-processen sker däremot successivt,  
genom elektroninfångning (slow, rapid)

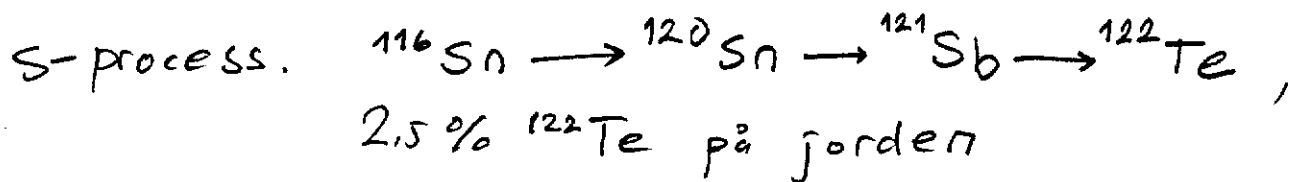
så bildas grundämnen.

fig. 19.14, sid. 777



Och så vidare,

bevis? fig. 19.16, sid. 779,



$\Gamma$ -process. när ej  ${}^{122}\text{Te}$  då  ${}^{122}\text{Sn}$  stabil  
 $\therefore$  både s- &  $\Gamma$ -processen viktiga,  
universums ålder.

$$T = \frac{1}{H},$$

$$T = \delta + \Delta + Ae$$

$\delta$ . kondens av galaxer, 1. generationens stjärnor, 1-2 Gy

$\Delta$ . kärnsyntes, 8-10 Gy

Ae. jordens ålder,  $4,6 \cdot 10^9$  Gy



$$\text{Ger } T = 14 \pm 2 \text{ Gy}$$

$$\text{med } H = 67 \text{ km s}^{-1} (\text{Mpc})^{-1}$$

$$\text{fås } T = 15 \text{ Gy}, \text{ so so...}$$

---